



UNIVERSITAS INDONESIA

**STUDI MENAIKKAN NILAI *SURGE IMPEDANCE LOADING*
(SIL) DAN TEGANGAN GITET DEPOK DENGAN
MENGUBAH KONFIGURASI SALURAN TRANSMISI 500 KV
TASIK-DEPOK**

SKRIPSI

**FAJAR TRI WARDANA
1206250134**

**FAKULTAS TEKNIK UNIVERSITAS INDONESIA
PROGRAM STUDI TEKNIK ELEKTRO
DEPOK
MEI 2016**



UNIVERSITAS INDONESIA

**STUDI MENAIKKAN NILAI *SURGE IMPEDANCE LOADING*
(*SIL*) DAN TEGANGAN GITET DEPOK DENGAN
MENGUBAH KONFIGURASI SALURAN TRANSMISI 500 KV
TASIK-DEPOK**

SKRIPSI

Diajukan sebagai salah satu syarat untuk memperoleh gelar sarjana teknik

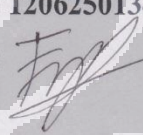
FAJAR TRI WARDANA

1206250134

**FAKULTAS TEKNIK UNIVERSITAS INDONESIA
PROGRAM STUDI TEKNIK ELEKTRO
KEKHUSUSAN TEKNIK TENAGA LISTRIK
DEPOK
MEI 2016**

HALAMAN PERNYATAAN ORISINALITAS

**Skripsi ini adalah hasil karya saya sendiri,
dan semua sumber baik yang dikutip maupun yang dirujuk
telah saya nyatakan dengan benar.**

Nama : Fajar Tri Wardana
NPM : 1206250134
Tanda Tangan : 
Tanggal : 16 Mei 2016

HALAMAN PENGESAHAN

Skripsi ini diajukan oleh :

Nama : Fajar Tri Wardana
NPM : 1206250134
Program Studi : Teknik Elektro
Judul Skripsi : Studi Menaikkan Nilai *Surge Impedance Loading* (*Sil*) Dan Tegangan Gitar Depok Dengan Mengubah Konfigurasi Saluran Transmisi 500 Kv Tasik-Depok

Telah berhasil dipertahankan di hadapan Dewan Penguji dan diterima sebagai bagian persyaratan yang diperlukan untuk memperoleh gelar Sarjana Teknik pada Program Studi Teknik Elektro, Fakultas Teknik, Universitas Indonesia.

DEWAN PENGUJI

Pembimbing : Prof. Dr. Ir. Rudy Setiabudy, DEA.

Penguji : Dr. Ir. Ridwan Gunawan, M.T.

Penguji : Chairul Hudaya, S.T., M.Eng., Ph.D. (

Ditetapkan di : Depok

Tanggal : 16 Mei 2016

KATA PENGANTAR

Puji syukur penulis panjatkan kepada Allah SWT, karena berkat rahmat-Nya penulis dapat menyelesaikan skripsi berjudul “Studi Menaikkan Nilai *Surge Impedance Loading (SIL)* dan Tegangan Gitet Depok dengan Mengubah Konfigurasi Saluran Transmisi 500 kV Tasik-Depok” ini.

Dalam pelaksanaan penulisan skripsi, penulis dibantu oleh banyak pihak. Maka dari itu, penulis mengucapkan terima kasih kepada:

1. Keluarga penulis, terutama bapak Solihin dan ibu Dirwati, yang telah memberikan banyak dukungan baik doa, moral dan materi selama penggerjaan skripsi.
2. Prof. Dr. Ir. Rudy Setiabudy, DEA. selaku dosen pembimbing skripsi penulis, karena telah meluangkan waktu, tenaga, pikiran dan membantu dalam segala proses penyusunan skripsi ini.
3. Bapak Ahmad Yusuf Salile dan bapak Agus Setiawan dari PT PLN (Persero) P3B Jawa Bali atas bantuan pemberian data dan arahannya.

Penulis menyadari bahwa skripsi ini masih jauh dari sempurna. Maka dari itu penulis sangat mengharapkan kritik dan saran yang membangun demi kesempurnaan skripsi ini. Semoga skripsi ini membawa manfaat bagi pengembangan ilmu pengetahuan, khususnya ilmu tenaga listrik.

Depok, Mei 2016

Penulis

**HALAMAN PERNYATAAN PERSETUJUAN PUBLIKASI TUGAS
AKHIR UNTUK KEPENTINGAN AKADEMIS**

Sebagai sivitas akademia Universitas Indonesia, saya yang bertanda tangan dibawah ini :

Nama : Fajar Tri Wardana
NPM : 1206250134
Program Studi : Teknik Elektro
Departemen : Teknik Elektro
Fakultas : Teknik
Jenis Karya : Skripsi

demi pengembangan ilmu pengetahuan, menyetujui untuk memberikan kepada Universitas Indonesia **Hak Bebas Royalti Nonekslusif (Non-exclusive Royalty-Free Right)** atas karya ilmiah saya yang berjudul :

“Studi Menaikkan Nilai *Surge Impedance Loading (Sil)* dan Tegangan Gitet Depok dengan Mengubah Konfigurasi Saluran Transmisi 500 Kv Tasik-Depok”

beserta perangkat yang ada (jika diperlukan). Dengan Hak Bebas Royalti Nonekslusif ini Universitas Indonesia berhak menyimpan, mengalihmedia/format-kan, mengelola dalam bentuk pangkalan data (*database*), merawat, dan memublikasikan tugas akhir data saya selama tetap mencantumkan nama saya sebagai penulis/pencipta dan sebagai pemilik Hak Cipta.

Demikian pernyataan ini saya buat dengan sebenarnya.

Dibuat di : Depok

Pada tanggal : 16 Mei 2016

Yang menyatakan



Fajar Tri Wardana

ABSTRAK

Nama : Fajar Tri Wardana

Program Studi : Teknik Elektro

Judul : Studi Menaikkan Nilai *Surge Impedance Loading (Sil)* dan Tegangan Gitet Depok dengan Mengubah Konfigurasi Saluran Transmisi 500 kV Tasik-Depok

Dalam sistem tenaga listrik, penyaluran tenaga listrik yang baik merupakan hal yang vital dalam memenuhi kebutuhan beban. Kapasitas penyaluran daya pada saluran transmisi dibatasi oleh batas *Surge Impedance Loading (SIL)*. Saat saluran transmisi dibebani pada nilai SIL-nya maka saluran transmisi tersebut akan bersifat resistif murni. Apabila saluran transmisi bersifat resistif murni maka nilai susut tegangan akan semakin berkurang dan akan memperbaiki kualitas daya. Tegangan yang berada dibawah nilai normalnya akan menyebabkan peralatan listrik tidak bekerja dengan maksimal. Saat level SIL suatu saluran transmisi dinaikkan maka kapasitas suatu saluran transmisi juga akan bertambah. Menaikkan level SIL dapat dilakukan dengan mengubah-ubah konfigurasi saluran transmisi tersebut. Pengubahan yang dilakukan antara lain, memperbesar diameter konduktor, menjauhkan jarak antar subkonduktor, menambah jumlah subkonduktor perfasa dan mendekatkan jarak antar fasa. Dari semua variasi tersebut akan dilihat nilai SIL dan susut tegangan dari saluran transmisi 500kV TASIK-DEPOK. Dari hasil yang diperoleh dapat diambil kesimpulan bahwa nilai SIL terbesar terjadi saat jumlah subkonduktor sebanyak 6 buah dengan jarak antar subkonduktor 80cm. SIL terbesar bernilai 2429.4543 MW dan % tegangan bus DEPOK tertinggi adalah 96.81%.

Kata kunci: Saluran transmisi, *surge impedance loading*, susut tegangan.

ABSTRACT

Name : Fajar Tri Wardana
Study Program : Electrical Engineering
Title : Study Increasing *Surge Impedance Loading (SIL)* and Voltage at Depok Substation by Changing Tasik-Depok 500 kV Transmission Line's Configuration.

In electric power systems, the good electric power transmission is vital to occupy the load requirements. Power transmission capacity on transmission lines restricted by Surge Impedance Loading (SIL). When the transmission line loaded at its SIL value then the transmission line will be purely resistive. If the transmission line is purely resistive then the value of drop voltage will decrease and will improve the power quality. Voltage that below its normal value would cause the electrical equipment does not work in the maximum performance. When a transmission line SIL level is increased, the capacity of a transmission line will also increase. Increasing the level of SIL can be done by changing the configuration of the transmission line. The conversion is done inter alia, expand the diameter of the conductor, increasing the distance between subconduktor, increasing the number of subconduktor per phase and decreasing the gap between phases. From all of these variations will be seen the value of SIL and drop voltage of 500kV transmission line TASIK-DEPOK. From the results obtained it can be concluded that the value of the largest SIL occurs when the number of subconduktor as much as 6 pieces with subconduktor distance between 80cm. The highest SIL is 2429.4543 MW and the highest % voltage of DEPOK bus is 96.81%.

Keywords: Drop voltage, *surge impedance loading*, transmission line.

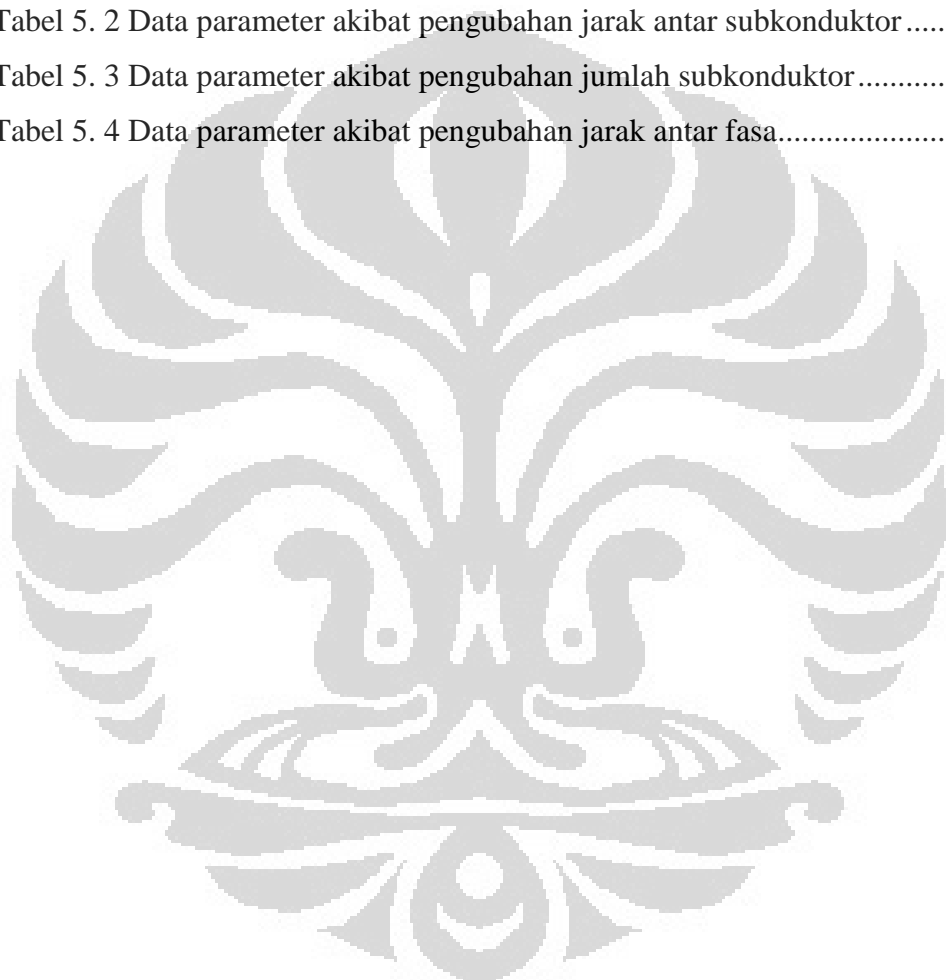
DAFTAR ISI

HALAMAN JUDUL.....	i
HALAMAN PERNYATAAN ORISINALITAS.....	ii
HALAMAN PENGESAHAN.....	iii
KATA PENGANTAR	iv
HALAMAN PERNYATAAN PERSETUJUAN PUBLIKASI TUGAS AKHIR UNTUK KEPENTINGAN AKADEMIS	v
ABSTRAK	vi
ABSTRACT	vii
DAFTAR ISI.....	viii
DAFTAR TABEL.....	x
DAFTAR GAMBAR	xi
BAB 1 PENDAHULUAN	1
1.1 Latar Belakang	1
1.2 Perumusan Masalah.....	2
1.3 Tujuan Penelitian.....	2
1.4 Batasan Masalah.....	3
1.5 Metodologi Penelitian	3
1.6 Sistematika Penulisan.....	4
BAB 2 KARAKTERISTIK SALURAN TRANSMISI	5
2.1 Resistansi.....	5
2.2 Induktansi	6
2.2.1 Induktansi Pada Saluran Satu Fasa	7
2.2.2 Induktansi Pada Saluran Tiga Fasa	8
2.3 Kapasitansi	11
2.3.1 Kapasitansi Pada Saluran Satu Fasa.....	12
2.3.2 Kapasitansi Pada Saluran Tiga Fasa	15
2.4 Karakteristik Saluran Transmisi	19
2.4.1 Saluran Transmisi Pendek.....	19
2.4.2 Saluran Transmisi Menengah.....	20

2.4.3	Saluran Transmisi Panjang.....	23
BAB 3 PEMBEBANAN IMPEDANSI SURJA (SURGE IMPEDANCE LOADING/SIL)		28
3.1	Pengertian <i>Surge Impedance Loading</i>	28
3.2	Metode Menaikkan <i>Surge Impedance Loading</i>	30
3.3	Karakteristik Saluran Transmisi Pada Level SIL	32
BAB 4 SIMULASI JARINGAN 500 KV JAWA BALI		34
4.1	Jaringan 500 kV Jawa Bali	34
4.1.1	Gambaran Umum	34
4.1.2	Saluran Transmisi 500 kV Jawa Bali	35
4.2	Pengambilan Data Penelitian.....	38
4.2.1	Simulasi Jaringan 500 kV Jawa Bali.....	38
4.2.2	Perhitungan X dan Y Saluran Transmisi.....	38
BAB 5 ANALISIS HASIL SIMULASI.....		44
5.1	Saluran Transmisi 500 kV TASIK-DEPOK.....	44
5.2	Mengubah Jari-Jari ACSR Gannet	45
5.3	Mengubah Jarak Antar Subkonduktor.....	47
5.4	Mengubah Jumlah Subkonduktor	50
5.5	Mengubah Jarak Antar Fasa	54
5.6	Analisis Hasil	57
BAB 6 KESIMPULAN.....		58
DAFTAR REFERENSI		59
DAFTAR PUSTAKA		61
LAMPIRAN		62

DAFTAR TABEL

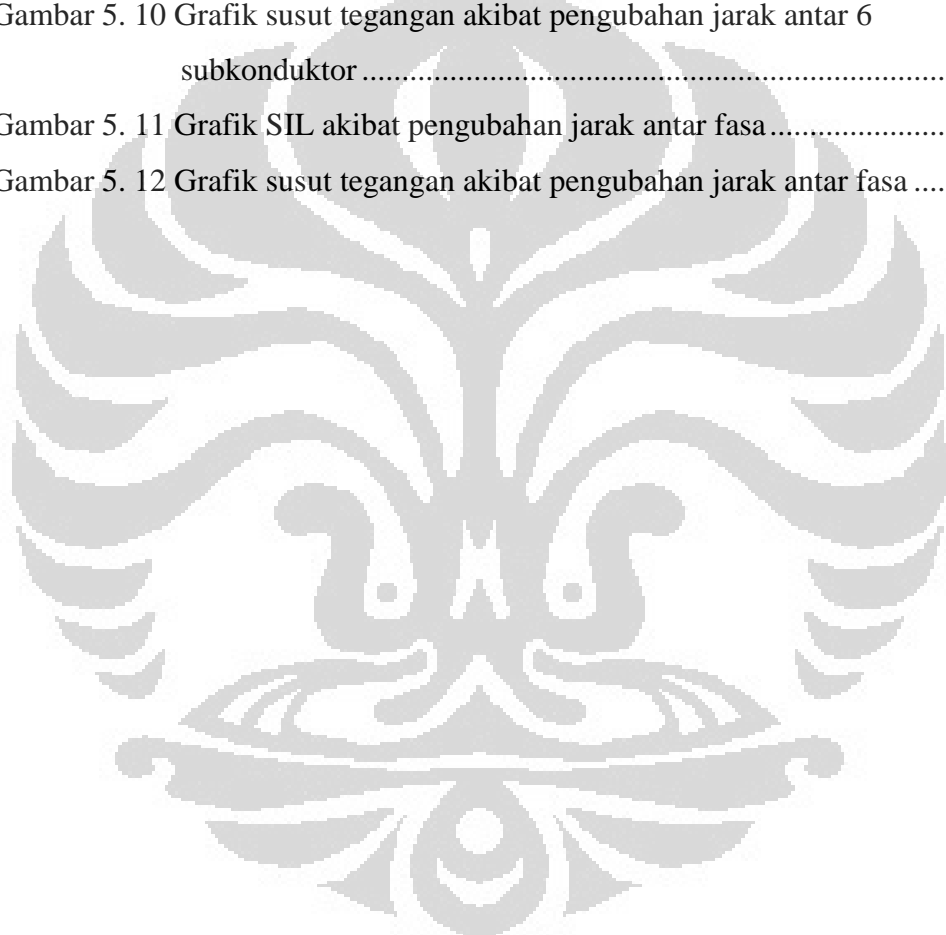
Tabel 2. 1 Koefisien Resistivitas dan Temperatur dari Reisistansi [1]	6
Tabel 2. 2 Tabel Permeabilitas Relatif Bahan.....	8
Tabel 4. 1 Saluran transmisi 500 kV Jawa Bali	37
Tabel 4. 2 Rumus GMR untuk setiap kawat berkas.....	39
Tabel 5. 1 Data parameter akibat pengubahan jari-jari konduktor.....	46
Tabel 5. 2 Data parameter akibat pengubahan jarak antar subkonduktor	49
Tabel 5. 3 Data parameter akibat pengubahan jumlah subkonduktor	51
Tabel 5. 4 Data parameter akibat pengubahan jarak antar fasa.....	55



DAFTAR GAMBAR

Gambar 2. 1 Medan magnet dari fasa tunggal [1].....	7
Gambar 2. 2 Saluran transmisi tiga phasa dengan jarak konduktor sama.....	9
Gambar 2. 3 Transposisi saluran transmisi tiga fasa [1]	10
Gambar 2. 4 Garis-garis fluks listrik berasal dari muatan-muatan positif tersebar merata pada permukaan penghantar silinder	12
Gambar 2. 5 Jalur integrasi dua titik diluar suatu penghantar silinder yang mempunyai muatan positif yang terbagi secara merata	13
Gambar 2. 6 Penampang saluran kawat sejajar.....	14
Gambar 2. 7 Kapasitansi fasa ke fasa.....	15
Gambar 2. 8 Kapasitansi fasa ke netral	15
Gambar 2. 9 Saluran tiga fasa dengan jarak pemisah sama	16
Gambar 2. 10 Diagram fasor tegangan sistem 3 fasa seimbang	17
Gambar 2. 11 Saluran tiga fasa dengan jarak pemisah yang tidak sama	18
Gambar 2. 12 Rangkaian ekuivalen saluran transmisi pendek	20
Gambar 2. 13 Rangkaian ekuivalen saluran transmisi menengah phi	21
Gambar 2. 14 Rangkaian ekuivalen saluran transmisi menengah T	22
Gambar 2. 15 Rangkaian ekuivalen saluran transmisi panjang	23
Gambar 2. 16 Elemen saluran sepanjang dx	23
Gambar 3. 1 Karakteristik SIL penghantar	29
Gambar 3. 2 Suatu bundle conductor terdiri dari 4 kawat	31
Gambar 3. 3 Penampang melintang suatu konduktor ACSR [3]	32
Gambar 4. 1 Topologi Jaringan Jawa Bali[7]	35
Gambar 4. 2 Konfigurasi saluran tunggal horizontal [1]	36
Gambar 4. 3 Konfigurasi saluran vertikal ganda [1].....	36
Gambar 4. 4 Spesifikasi konfigurasi saluran horizontal	40
Gambar 4. 5 Spesifikasi saluran vertikal ganda	42
Gambar 5. 1 Grafik SIL akibat pengubahan jari-jari konduktor.....	47
Gambar 5. 2 Grafik susut tegangan akibat pengubahan jari-jari konduktor	47
Gambar 5. 3 Grafik SIL akibat pengubahan jarak antar subkonduktor	48

Gambar 5. 4 Grafik susut tegangan akibat pengubahan jarak antar subkonduktor	48
Gambar 5. 5 Grafik SIL akibat pengubahan jarak antar 2 subkonduktor	52
Gambar 5. 6 Grafik susut tegangan akibat pengubahan jarak antar 2 subkonduktor	52
Gambar 5. 7 Grafik SIL akibat pengubahan jarak antar 3 subkonduktor	52
Gambar 5. 8 Grafik susut tegangan akibat pengubahan jarak antar 3 subkonduktor	53
Gambar 5. 9 Grafik SIL akibat pengubahan jarak antar 6 subkonduktor	53
Gambar 5. 10 Grafik susut tegangan akibat pengubahan jarak antar 6 subkonduktor	53
Gambar 5. 11 Grafik SIL akibat pengubahan jarak antar fasa.....	56
Gambar 5. 12 Grafik susut tegangan akibat pengubahan jarak antar fasa	56



BAB 1

PENDAHULUAN

1.1 Latar Belakang

Sistem tenaga listrik secara umum terbagi dalam tiga subsistem besar yaitu pembangkitan, transmisi dan distribusi. Subsistem transmisi digunakan untuk menyalurkan daya listrik dalam jumlah yang sangat besar. Sistem transmisi menggunakan tegangan tinggi dalam menyalurkan daya listrik. Hal ini bertujuan agar rugi daya akibat disipasi dari penghantar berkurang. Karena saat tegangan dinaikkan maka arus listrik akan menjadi kecil. Arus listrik yang rendah ini juga akan berdampak pada rugi disipasi yang rendah.

Sebuah saluran transmisi memiliki batas kemampuan dalam menyalurkan daya listrik. Salah satu batas tersebut adalah batas temperatur konduktor penghantar. Saat arus listrik mengalir pada suatu konduktor penghantar, maka akan timbul panas akibat disipasi. Batas temperatur ini akan membatasi besar arus listrik yang dapat mengalir dan secara langsung akan membatasi nilai daya listrik yang dapat disalurkan. Saat arus listrik yang besar mengalir pada saluran trasmisi, maka tegangan pada sisi penerima akan lebih rendah dari tegangan pada sisi pengirim. Semakin besar arus listrik yang mengalir maka akan semakin besar nilai susut tegangan dari saluran transmisi tersebut.

Dalam perkembangan dan ekspansi sistem tenaga listrik, jumlah pembangkit listrik dan jumlah beban listrik semakin lama akan semakin bertambah. Hal ini menuntut agar daya listrik yang dapat disalurkan juga semakin besar atau dengan kata lain menuntut agar arus listrik yang dapat disalurkan menjadi semakin besar. Sistem transmisi yang bertugas menyalurkan daya listrik juga harus dapat menaikkan kapasitasnya. Namun hal ini terkendala dari batas temperatur konduktor penghantar.

Jika arus yang disalurkan pada saluran transmisi dinaikkan, meskipun masih dibawah batas temperaturnya, namun akan menyebabkan susut tegangan akan semakin tinggi. Sehingga perlu penanganan lebih jauh, cara yang biasa digunakan untuk mengatasi susut tegangan ialah dengan menambahkan kompensator daya reaktif pada sisi penerima, menaikkan tegangan pada sisi pengirim dan menaikkan level *surge impedance loading (sil)* pada penghantar tersebut. Cara terakhir, yaitu menaikkan level *surge impedance loading (sil)* pada penghantar akan dibahas pada skripsi ini.

Dalam skripsi ini, studi kasus akan dilakukan pada jaringan 500 kV Jawa-Bali. Dengan mengubah-ubah konfigurasi saluran, yang akan mengubah nilai induktansi dan kapasitansi saluran, sekaligus mengubah level *surge impedance loading (sil)*. Mengubah konfigurasi saluran agar didapatkan nilai sil yang lebih tinggi dari sebelumnya dan akan dilihat nilai susut tegangan pada bus yang terhubung.

1.2 Perumusan Masalah

Berdasarkan latar belakang yang telah diuraikan, dapat dirumuskan permasalahan yang akan dibahas dalam skripsi ini, diantaranya:

1. Apa pengaruh dinaikkannya level *surge impedance loading (sil)* pada jaringan 500 kV Jawa-Bali?
2. Berapa besar nilai penurunan susut tegangan saat level *surge impedance loading (sil)* dinaikkan?

1.3 Tujuan Penelitian

Tujuan dilakukannya penelitian ini adalah untuk mendapatkan hubungan antara *surge impedance loading (sil)* dengan susut tegangan pada saluran transmisi sehingga dapat menurunkan susut tegangan saluran transmisi 500 kV Jawa-Bali.

1.4 Batasan Masalah

Batasan masalah pada skripsi ini adalah sebagai berikut:

- a. Simulasi yang dibuat adalah jaringan listrik 500 kV Jawa-Bali
- b. Saluran yang menjadi objek penelitian adalah saluran TASIK-DEPOK
- c. Pengaruh yang diamati dari mengubah level SIL hanya susut tegangan saluran transmisi.

1.5 Metodologi Penelitian

Pada skripsi ini akan dilakukan studi literatur, deskripsi mengenai sistem Jawa Bali 500 kV saat ini, studi perhitungan induktansi dan kapasitansi saluran, studi performansi saluran transmisi, simulasi perhitungan nilai *surge impedance loading (sil)* dan pengaruhnya pada susut tegangan dan yang terakhir analisis hasil simulasi.

Tahap pertama adalah melakukan studi perhitungan nilai induktansi dan kapasitansi dari saluran transmisi 500kV yang umumnya menggunakan kawat berkas dengan metode *Geometric Mean Distance (GMD)* dan *Geometric Mean Radius (GMR)*. Pada tahap ini juga mempelajari tentang performansi saluran transmisi, karakteristik tegangan penerima dengan tegangan pengirim dan hubungan *surge impedance loading (sil)* dengan nilai susut tegangan.

Tahap kedua adalah meminta data yang dibutuhkan untuk membuat simulasi jaringan listrik 500kV Jawa-Bali. Simulasi akan dibuat pada pengangkat lunak *Electric Transient and Analysis Program (ETAP) 12.6.0*. Data-data yang dibutuhkan secara umum ialah *single line diagram* jaringan 500kV Jawa-Bali, *rating* peralatan-peralatan seperti generator, transformator, panjang dan karakteristik saluran transmisi.

Tahap ketiga adalah membuat simulasi dengan perangkat lunak ETAP 12.6.0. Simulasi yang telah dibuat kemudian dijalankan dan dilihat tegangan pada tiap bus. Selanjutnya saluran transmisi diubah karakteristiknya dan konfigurasinya, dan kemudian diamati perubahan tegangan pada bus yang tersambung.

Tahap terakhir, melakukan analisis mengenai hasil simulasi dan membandingkannya dengan teori pada studi yang telah dilakukan sebelumnya. Kemudian ditarik kesimpulan berdasarkan analisis yang dibuat.

1.6 Sistematika Penulisan

Skripsi ini terdiri dari enam bab. Dimulai dari bab satu yang membahas tentang latar belakang, permasalahan, tujuan penulisan, batasan masalah, metodologi penelitian, dan sistematika penulisan. Selanjutnya dilakukan studi literatur agar pemahaman materi lebih mendalam, studi literatur yang dilakukan adalah mengenai saluran transmisi, cara menghitung nilai induktansi dan kapasitansi saluran dan studi tentang performansi saluran transmisi yang semuanya ditulis sebagai bab dua. Setelah dilakukan studi literatur, selanjutnya disusun penjelasan lebih lanjut tentang *surge impedance loading (sil)*, cara menaikkan nilai SIL dan performansi saluran transmisi saat saluran dibebani pada nilai SIL dan diluar nilai SIL, selain itu juga berisi penjelasan singkat tentang sistem tenaga listrik Jawa-Bali khususnya jaringan 500 kV Jawa-Bali, semua pembahasan tersebut disusun menjadi bab tiga. Setelah semua dasar teori dan pemahaman lengkap, maka selanjutnya dibuat simulasi jaringan listrik 500 kV Jawa-Bali dan hasil yang ditimbulkan saat ada saluran transmisi yang diubah karakteristik dan konfigurasinya yang disusun pada bab empat. Kemudian dibuat analisis hasil simulasi tersebut dan penjelasan saat konfigurasi saluran diubah-ubah dan disusun pada bab lima. Setelah analisis dibuat, dapat ditarik kesimpulan yang akan disusun pada bab enam.

BAB 2

KARAKTERISTIK SALURAN TRANSMISI

2.1 Resistansi

Resistansi penghantar saluran transmisi adalah penyebab terpenting dari rugi daya (*power loss*) pada saluran transmisi. Jika tidak ada keterangan lain maka resistansi yang dimaksud adalah resistansi efektif. Resistansi efektif dari suatu penghantar adalah [1],

$$R = \frac{P_{loss}}{I^2} \quad (2.1)$$

dengan R : resistansi efektif (ohm)

P_{loss} : rugi daya (watt)

I : arus RMS (ampere).

Sedangkan resistansi dc diberikan oleh rumus:

$$R_o = \rho \frac{\ell}{A} \quad (2.2)$$

dengan R_o : resistansi DC (ohm)

ρ : hambat jenis (ohm-m)

ℓ : panjang saluran (meter)

A : luas penampang konduktor (m^2).

Karena pada umumnya kawat-kawat penghantar terdiri dari kawat-pilin (*stranded conductors*) maka sebagai faktor koreksi untuk memperhitungkan pengaruh dari pilin itu, panjang kawat dikalikan dengan 1,02 (2% faktor koreksi) seperti yang dapat dilihat pada Tabel 2.1. Tahanan kawat berubah oleh temperatur. Dalam batas 10°C sampai 100°C , maka untuk kawat tembaga dan aluminium berlaku rumus temperatur:

$$R_2 = R_1[1 + \alpha(t_2 - t_1)] \quad (2.3)$$

dengan R_2 : resistansi saat temperatur t_2 (ohm)

R_1 : resistansi saat temperatur t_1 (ohm)

α : koefisien temperatur ($1/^\circ\text{C}$)

Jadi,

$$\frac{R_{t2}}{R_{t1}} = \frac{\frac{1}{\alpha_0+t_2}}{\frac{1}{\alpha_0+t_1}} \quad (2.4)$$

Besarnya resistiviti dan koefisien temperatur dari masing-masing bahan ditunjukkan oleh Tabel 2.1.

Tabel 2. 1 Koefisien Resistivitas dan Temperatur dari Reisistansi [1]

Material	Resistiviti ρ pada 20°C ($\mu\Omega/\text{cm}$)	Koefisien Suhu $[\alpha]$ pada 20°C ($^\circ\text{C}^{-1}$)
Alumunium	2.83	0.0039
Brass	6.4-8.4	0.002
Cooper (Hard-drawn)	1.77	0.00382
Cooper (Annealed)	1.72	0.00393
Iron	10	0.005
Silver	1.59	0.0038
Steel	12.88	0.001-0.005

2.2 Induktansi

Dalam penurunan rumus-rumus untuk induktansi dan reaktansi induktif dari suatu konduktor biasanya diabaikan dua faktor, yaitu:

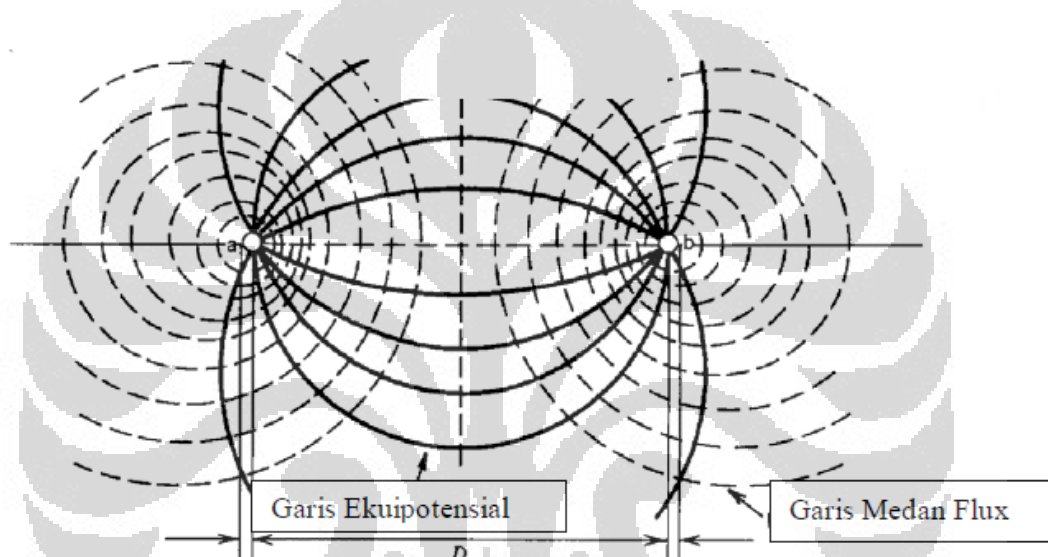
- a) Efek kulit (*skin effect*).
- b) Efek sekitar (*proximity effect*).

Efek kulit adalah gejala pada arus bolak-balik, bahwa kerapatan arus dalam penampang konduktor tersebut makin besar ke arah permukaan kawat. Tetapi, apabila hanya meninjau frekuensi kerja (50 Hertz atau 60 Hertz) maka pengaruh efek kulit itu sangat kecil dan dapat diabaikan.

Efek sekitar ialah pengaruh dari kawat lain yang berada di samping kawat yang pertama (yang ditinjau) sehingga distribusi fluks tidak simetris lagi. Tetapi bila radius konduktor kecil terhadap jarak antara kedua kawat maka efek sekitar ini sangat kecil dan dapat diabaikan.

2.2.1 Induktansi Pada Saluran Satu Fasa

Gambar 2.1 menunjukkan medan magnet dari fasa tunggal. Diasumsikan aliran arus konduktor a keluar dan konduktor b masuk kembali. Perubahan arus karena perubahan flux, disebabkan tegangan induksi di dalam rangkaian.



Gambar 2. 1 Medan magnet dari fasa tunggal [1]

Induktansi yang disebabkan fluks pada konduktor diatas adalah,

$$L = 2 \times 10^{-7} \ln \frac{D}{r'} \quad [H/m] \quad (2.5)$$

atau jika diubah kedalam logaritma basis 10 menjadi,

$$L = 0.7411 \log \frac{D}{r'} \quad [mH/km] \quad (2.6)$$

Maka reaktansi induktif perkondutkor adalah,

$$X_L = 2\pi f L = 12.56 \times 10^{-7} f \ln \frac{D}{r'} \quad [\Omega/m] \quad (2.7)$$

atau

$$X_L = 2\pi f L = 4.6541 f \log \frac{D}{r'} \quad [m\Omega/km] \quad (2.8)$$

Dengan: f = frekuensi listrik (Hz)

D = Jarak antar konduktor (meter)

$$r' = r \times e^{\frac{-\mu_r}{4}} \text{ (meter)}$$

μ_r adalah nilai permeabilitas relatif dari suatu bahan, umumnya konduktor yang digunakan pada saluran transmisi menggunakan konduktor dengan bahan aluminium. Pada ruang vakum, nilai permeabilitas adalah sebesar $\mu_0 = 4 \times 10^{-7} [N/A^2]$. Berikut adalah tabel nilai μ_r dari beberapa bahan,

Tabel 2. 2 Tabel Permeabilitas Relatif Bahan

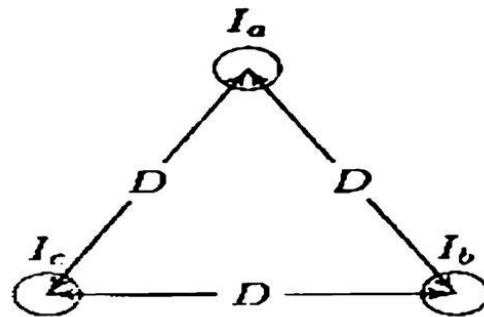
No	Bahan	Permeabilitas Relatif (μ_r)
1	Tembaga	0.9999906
2	Perak	0.9999736
3	Timah	0.9999831
4	Udara	1.00000037
5	Oksigen	1.000002
6	Aluminium	1.000021
7	Titanium 6-4	1.00005
8	Palladium	1.0008
9	Platina	1.0003
10	Mangan	1.001
11	Cobalt	250
12	Nikel	600
13	Besi	280,000

2.2.2 Induktansi Pada Saluran Tiga Fasa

Saluran transmisi tiga fasa rangkaian tunggal dapat dibedakan menurut susunan konduktornya yaitu saluran transmisi tiga fasa dengan jarak konduktor sama besar transmisi tiga fasa dengan jarak yang tidak sama besar.

a. Saluran Transmisi Tiga Fasa Dengan Jarak Konduktor Sama

Saluran konduktornya ditunjukkan dalam Gambar 2.2. dimana masing-masing konduktor mempunyai jarak yang sama yaitu D .



Gambar 2. 2 Saluran transmisi tiga phasa dengan jarak konduktor sama

Fluks yang melingkupi konduktor diatas dapat dirumuskan menjadi,

$$\begin{aligned}
 \lambda_a &= 2 \times 10^{-7} \left(I_a \ln \frac{1}{r'_a} + I_b \ln \frac{1}{D_{ab}} + I_c \ln \frac{1}{D_{ac}} \right) \\
 &= 2 \times 10^{-7} \left(I_a \ln \frac{1}{r'_a} + I_b \ln \frac{1}{D} + I_c \ln \frac{1}{D} \right) \\
 &= 2 \times 10^{-7} \left(I_a \ln \frac{1}{r'_a} + (I_b - I_c) \ln \frac{1}{D} \right)
 \end{aligned} \tag{2.9}$$

Dalam keadaan seimbang, penjumlahan arus pada tiap-tiap fasa adalah sama dengan nol, maka:

$$I_a + I_b + I_c = 0 \tag{2.10}$$

$$\text{atau } I_b + I_c = -I_a \tag{2.11}$$

Kemudian substitusi persamaan (2.11) kepersamaan (2.9), sehingga diperoleh:

$$\begin{aligned}
 \lambda_a &= 2 \times 10^{-7} \left(I_a \ln \frac{1}{r_a} - I_a \ln \frac{1}{D} \right) \\
 \lambda_a &= 2 \times 10^{-7} I_a \ln \frac{D}{r_a}
 \end{aligned} \tag{2.12}$$

Sehingga diperoleh induktansi konduktor-a adalah:

$$L_a = \frac{\lambda_a}{I_a}$$

$$L_a = 2 \times 10^{-7} \ln \frac{D}{r'_a} \quad [H/m] \tag{2.13}$$

$$\text{atau } L_a = 0.7411 \log \frac{D}{r'_a} \quad [mH/km] \quad (2.14)$$

Dengan cara yang sama dapat juga dihitung induktansi konduktor b dan c, hasilnya akan sama dengan induktansi konduktor-a. Jadi pada saluran transmisi 3 phasa dengan jarak konduktor sama, akan diperoleh induktansi perphasanya atau perkonduktornya akan sama besar.

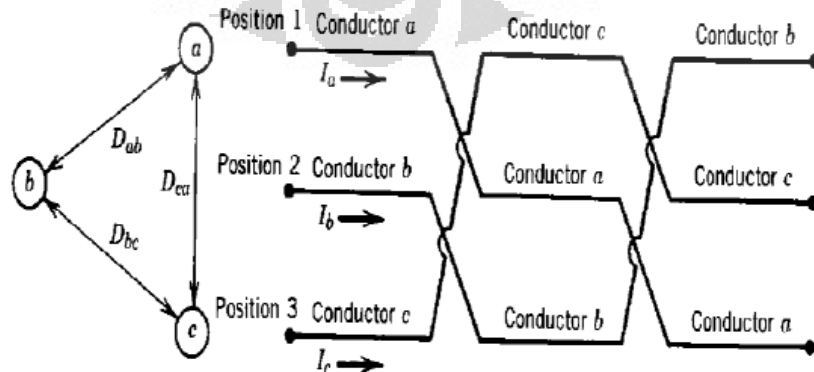
b. Saluran Transmisi Tiga Phasa Dengan Jarak Konduktor Tidak Sama

Bila jarak-jarak antara ketiga kawat-kawat itu tidak sama (tidak simetris), maka fluks-lingkup pada kawat 1 tergantung dari arus-arus i_2 dan i_3 , demikian juga halnya untuk kawat 2 dan 3. Jadi induktansi L_1 , L_2 dan L_3 , demikian juga reaktansi X_1 , X_2 dan X_3 tidak sama.

Untuk mengatasi kesulitan ini, kawat-kawat dari rangkaian tiga fasa sering ditransposisikan pada jarak-jarak tertentu, sehingga tiap-tiap fasa menduduki tiap kedudukan kawat untuk 1/3 dari panjang kawat. Keadaan ini membutuhkan paling sedikit dua titik transposisi, sehingga membagi jarak itu dalam tiga daerah.

$$D_{eq} = \sqrt[3]{D_{ab}D_{bc}D_{ca}} \quad (2.15)$$

Transposisi berguna untuk mengatasi ketidaksimetri yang disebabkan oleh kedudukan kawat yang tidak simetris. Dengan kata lain impedansi per fasa dari rangkaian tiga fasa yang tidak simetris menjadi simetris oleh karena transposisi tersebut.



Gambar 2. 3 Transposisi saluran transmisi tiga fasa [1]

Pada Gambar 2.3, angka 1, 2, dan 3 menyatakan posisi kawat dan huruf a, b, dan c menyatakan fasa. Dapat dilihat juga bahwa tiap fasa menduduki ketiga posisi 1/3 panjang kawat. Misalkan ketiga kawat itu terdiri dari bahan yang sama dan mempunyai radius sama pula. Jadi, L dan X untuk tiap kawat sama. Maka induktansi per fasa,

$$L_a = 2 \times 10^{-7} \ln \frac{D_{eq}}{D_s} \quad [H/m] \quad (2.16)$$

$$\text{atau } L_a = 0.7411 \log \frac{D_{eq}}{D_s} \quad [mH/km] \quad (2.17)$$

2.3 Kapasitansi

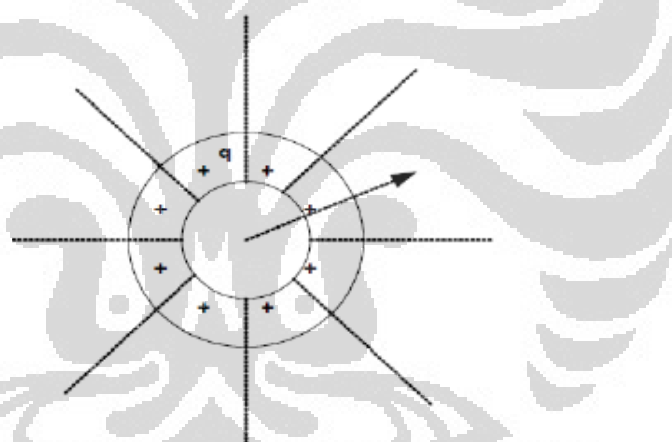
Kapasitansi saluran transmisi diakibatkan beda potensial antar penghantar (konduktor) dan antara penghantar dengan bumi. Kapasitansi menyebabkan penghantar tersebut bermuatan seperti yang terjadi pada plat kapaistor bila terjadi beda potensial diantaranya. Kapasitansi antara penghantar adalah muatan per unit beda potensial. Kapasitansi antara penghantar sejajar bergantung pada ukuran dan jarak pemisah dan jenis penghantar.

Untuk saluran daya yang panjangnya kurang dari 80 km (50 mil), pengaruh kapasitansinya kecil dan biasanya dapat diabaikan. Untuk saluran-saluran yang lebih panjang dengan tegangan yang lebih tinggi, kapasitansinya menjadi bertambah besar.

Suatu tegangan bolak-balik yang terpasang pada saluran transmisi akan menyebabkan muatan pada penghantar-penghantarnya disetiap titik bertambah atau berkurang sesuai dengan kenaikan dan penurunan nilai sesaat tegangan antara penghantar pada titik tersebut. Aliran muatan listrik dan arus yang disebabkan oleh pengisian dan pengosongan bolak-balik (*alternate charging and discharging*) saluran karena tegangan bolak-balik disebut arus pengisian saluran. Arus pengisian mengalir dalam saluran transmisi meskipun saluran itu dalam keadaan terbuka. Hal ini memengaruhi jatuh tegangan sepanjang saluran, efisiensi, dan faktor daya saluran serta kestabilan sistem dimana saluran tersebut merupakan salah satu bagiannya.

2.3.1 Kapasitansi Pada Saluran Satu Fasa

Untuk meninjau kapasitansi saluran, hal yang penting untuk diketahui adalah medan listrik, garis fluks listrik berasal dari muatan positif pada saluran satu penghantar dan berakhir pada muatan penghantar lain. Kerapatan fluks listrik adalah fluks listrik per meter per segi dan diukur dalam satuan per meter persegi (m^2). Kerapatan fluks listrik pada jarak x meter dapat dihitung dengan membayangkan suatu permukaan silinder yang konsentris dengan penghantar dengan berjari-jari x meter. Karena semua bagian permukaan itu sama jauhnya dari penghantar yang mempunyai muatan yang terbagi rata, permukaan silinder merupakan yang ekipotensial dan kerapatan fluks dari permukaan itu sama dengan banyaknya fluks yang meninggalkan penghantar per meter panjang dibagi luas permukaan sepanjang sumbu 1 m.



Gambar 2. 4 Garis-garis fluks listrik berasal dari muatan-muatan positif tersebar merata pada permukaan penghantar silinder

Seperti dapat dilihat pada Gambar 2.8. Kerapatan fluks listrik adalah

$$D = \frac{q}{2\pi x} \quad [c/m^2] \quad (2.18)$$

Dengan: q = muatan pada penghantar (colomb/meter)

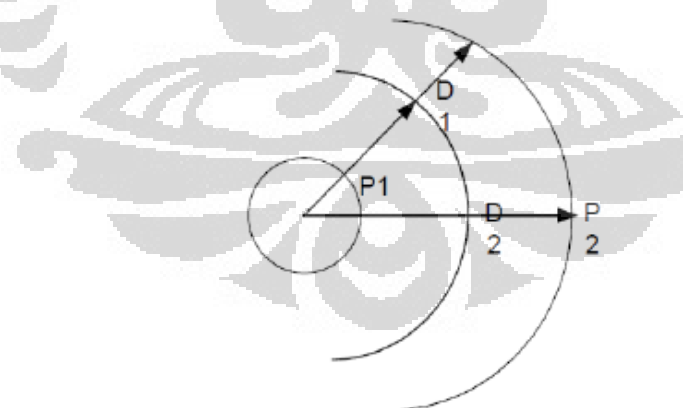
x = jarak dari penghantar (meter)

Kuat medan listrik sama dengan kerapatan fluks listrik dibagi dengan permitivitas medium. Oleh karena itu medan listrik adalah:

$$E = \frac{q}{2\pi x K} \quad [V/m^2] \quad (2.19)$$

Beda potensial antara dua titik dalam volt sama dengan kerja dalam joule per coulomb yang diperlukan dalam memindahkan satu colomb muatan antara kedua titik tersebut. Kuat medan listrik adalah suatu ukuran gaya pada suatu muatan yang berada dalam medan. Kuat medan listrik dalam volt per meter sama dengan gaya dalam newton per coloumb pada satu coloumb muatan dititik yang sedang ditinjau. Bila ditinjau sebuah kawat lurus diperlihatkan pada Gambar 2.5. Titik P₁ dan P₂ terletak pada jarak D₁ dan D₂ dari pusat kawat.

Muatan positif pada kawat menggunakan suatu gaya tolak pada muatan positif yang diletakkan dalam medan. Untuk alasan ini dan karena dalam hal ini D₂ lebih besar dari D₁ harus ada kerja yang dilakukan pada suatu muatan positif untuk memindahkannya dari P₂ ke P₁ dan P₁ berada dalam potensial yang lebih tinggi dari P₂. Beda potensial adalah banyaknya kerja yang dilakukan per colomb muatan yang dipindahkan. Jika muatan itu bergerak dari P₁ ke P₂ maka muatan tersebut melepaskan tenaga dan banyaknya kerja atau tenaga dalam Newton meter adalah susut tegangan (*Voltage drop*) dari P₁ ke P₂. Beda potensial ini tergantung pada jalur yang dilalui.



Gambar 2. 5 Jalur integrasi dua titik diluar suatu penghantar silinder yang mempunyai muatan positif yang terbagi secara merata

Cara yang paling sederhana untuk menghitung jatuh tegangan antara dua titik adalah dengan menghitung tegangan antara permukaan ekipotensial yang melewati P₁ dan P₂ dengan mengintegrasikan kuat medannya sepanjang jalur radial

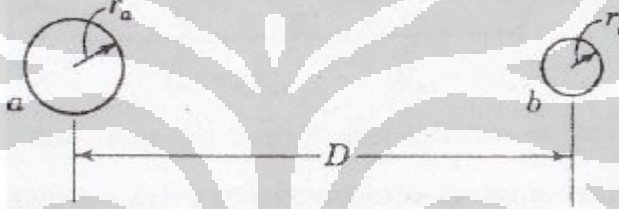
antara kedua permukaan ekipotensial itu. Jadi susut tegangan sesaat antara P₁ dan P₂ adalah:

$$V_{12} = \int_{D_1}^{D_2} edx = \int_{D_1}^{D_2} \frac{q}{2\pi Kx} dx = \frac{q}{2\pi K} \ln \frac{D_2}{D_1} \quad [V] \quad (2.20)$$

Dengan: q = muatan sesaat pada kawat (coloumb/meter).

Kapasitansi antara dua penghantar suatu saluran adalah muatan pada penghantar dibagi dengan selisih potensial antara kedua penghantar, dituliskan dengan rumus:

$$C = \frac{q}{V} \quad [f/m] \quad (2.21)$$



Gambar 2. 6 Penampang saluran kawat sejajar

Tegangan V_{ab} antar kedua penghantar pada saluran dua kawat yang diperhatikan pada Gambar 2.6. Dapat diperoleh dengan menentukan beda potensial antar kedua penghantar itu. Maka beda potensial antara konduktor a dan b adalah:

$$V_{ab} = \frac{1}{2\pi K} \left(q \ln \frac{D}{r_a} - q \ln \frac{r_b}{D} \right) \quad (2.22)$$

Kapasitansi per satuan panjang diantara konduktor tersebut adalah C_{ab} yang merupakan perbandingan muatan dengan beda potensial persatuan panjang:

$$C_{ab} = \frac{q}{V_{ab}} \quad [f/m] \quad (2.23)$$

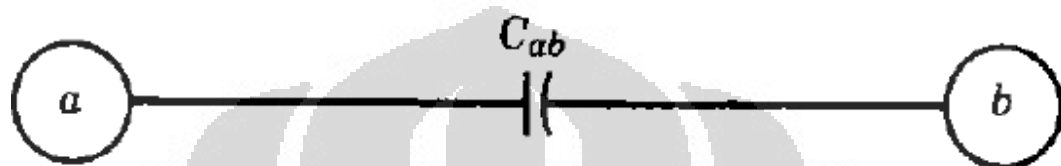
$$C_{ab} = \frac{\pi k}{\ln \frac{D}{\sqrt{r_a r_b}}} \quad [f/m] \quad (2.24)$$

$$C_{ab} = \frac{0.0121}{\log \frac{D}{\sqrt{r_a r_b}}} \quad [\mu f/km] \quad (2.25)$$

Jika $r_a = r_b = r$, maka:

$$C_{ab} = \frac{0.0121}{\log \frac{D}{\sqrt{r}}} \quad [\mu F/km] \quad (2.26)$$

Kadangkala perlu juga diperoleh kapasitansi diantara salah satu konduktor dengan titik netral. Kapasitansi saluran dapat disusun dari dua kapasitansi yang terangkai seri. Dapat di lihat pada Gambar 2.7 dan 2.8.



Gambar 2. 7 Kapasitansi fasa ke fasa



Gambar 2. 8 Kapasitansi fasa ke netral

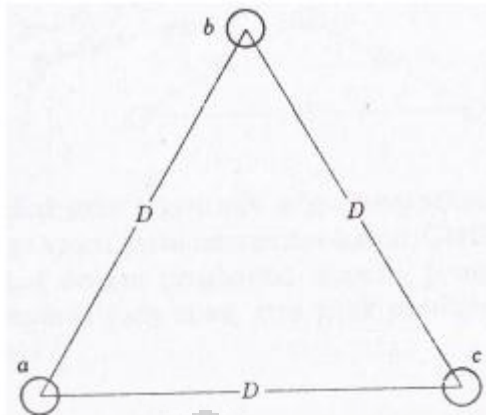
Kapasitansi dari masing-masing saluran ke netral adalah dua kali kapasitansi saluran ke saluran (*line to line capacitance*).

$$C_n = C_{an} = C_{bn} = 2C_{ab} = \frac{0.0242}{\log \frac{D}{\sqrt{r}}} \quad [\mu F/km] \quad (2.27)$$

2.3.2 Kapasitansi Pada Saluran Tiga Fasa

a. Kapasitansi Saluran Transmisi Tiga Phasa Dengan Jarak Konduktor Sama

Pada Gambar 2.9, saluran tiga phasa dengan jarak pemisah yang sama menyatakan tegangan antara dua penghantar yang disebabkan oleh muatan pada masing-masing penghantar.



Gambar 2. 9 Saluran tiga fasa dengan jarak pemisah sama

Jadi beda potensial untuk V_{ab} dan V_{ac} dapat dituliskan:

$$V_{ab} = \frac{1}{2\pi K} \left(q_a \ln \frac{D}{r} + q_b \ln \frac{r}{D} + q_c \ln \frac{D}{D} \right) [V] \quad (2.28)$$

$$V_{ac} = \frac{1}{2\pi K} \left(q_a \ln \frac{D}{r} + q_b \ln \frac{D}{D} + q_c \ln \frac{r}{D} \right) [V] \quad (2.29)$$

Penjumlahan dari persamaan (2.28) dan (2.29) menghasilkan:

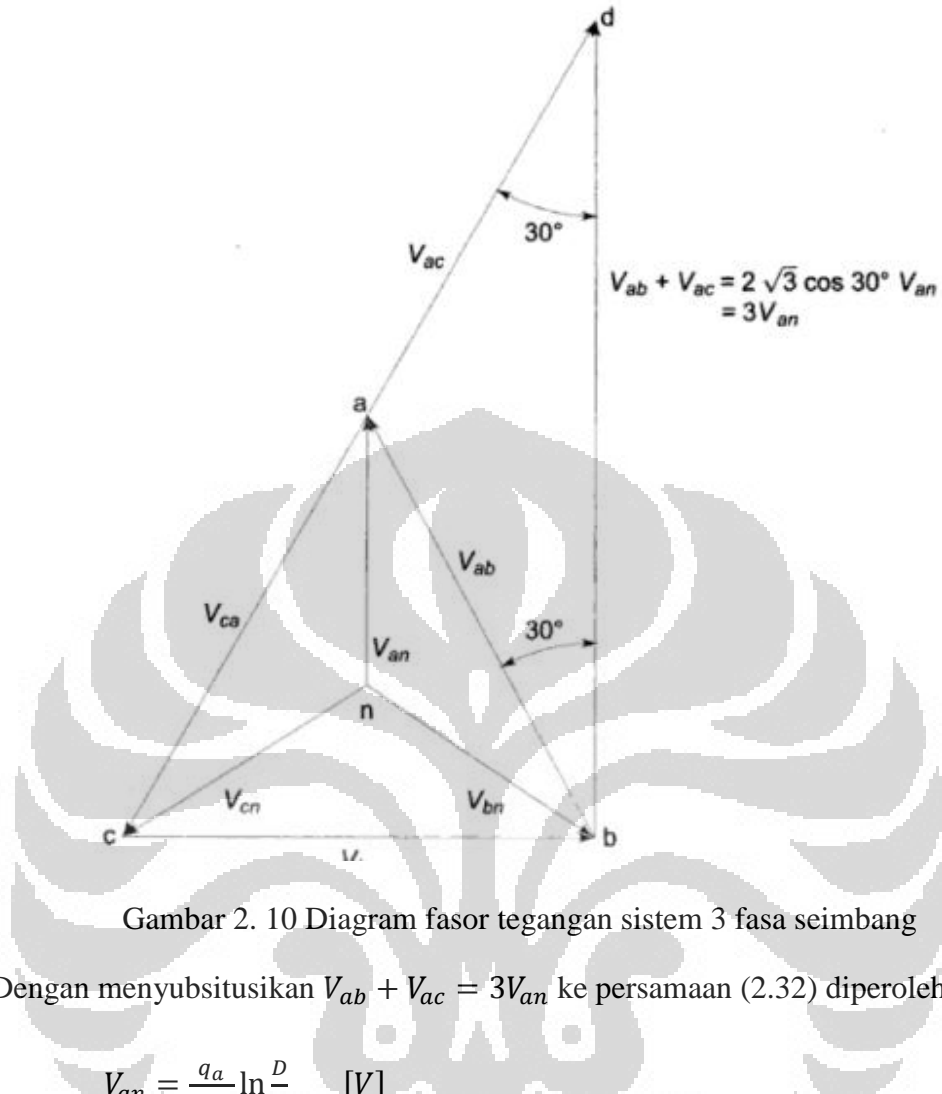
$$V_{ab} + V_{ac} = \frac{1}{2\pi K} \left(2q_a \ln \frac{D}{r} + (q_b + q_c) \ln \frac{r}{D} \right) [V] \quad (2.30)$$

Jika $q_b + q_c = -q_a$ maka:

$$V_{ab} + V_{ac} = \frac{1}{2\pi K} \left(2q_a \ln \frac{D}{r} - q_a \ln \frac{r}{D} \right) [V] \quad (2.31)$$

$$V_{ab} + V_{ac} = \frac{3q_a}{2\pi K} \ln \frac{D}{r} [V] \quad (2.32)$$

Untuk sistem 3 fasa seimbang, maka berlaku $V_{ab} + V_{ac} = 3V_{an}$, berikut adalah diagram fasor yang menunjukkan hubungan penjumlahan tegangan antar fasa dari sistem 3 fasa simbang.



Gambar 2. 10 Diagram fasor tegangan sistem 3 fasa seimbang

Dengan menyubsitusikan $V_{ab} + V_{ac} = 3V_{an}$ ke persamaan (2.32) diperoleh:

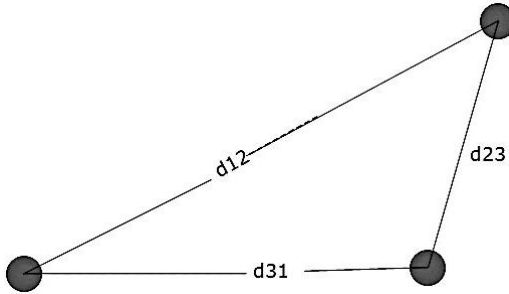
$$V_{an} = \frac{q_a}{2\pi K} \ln \frac{D}{r} \quad [V] \quad (2.33)$$

Kapasitansi saluran ke netral adalah:

$$C_n = \frac{2\pi K}{\ln \frac{D}{r}} \quad [f/m \text{ ke netral}] \quad (2.34)$$

b. Kapasitansi Saluran Transmisi Tiga Phasa Dengan Jarak Konduktor Tidak Sama

Kapasitansi dari saluran tiga phasa dengan jarak pemisah yang tidak simetris diperoleh dengan menganggap bahwa saluran ditransposisikan.



Gambar 2. 11 Saluran tiga fasa dengan jarak pemisah yang tidak sama

Untuk saluran yang diperlihatkan pada Gambar 2.10, diperoleh tiga persamaan untuk V_{ab} untuk tiga bagian yang berbeda pada periode transposisi. Untuk phasa a pada posisi 1, b pada posisi 2, dan c pada posisi 3, maka:

$$V_{ab} = \frac{1}{2\pi K} \left(q_{a1} \ln \frac{D_{12}}{r} + q_{b1} \ln \frac{r}{D_{12}} + q_{c1} \ln \frac{D_{23}}{D_{31}} \right) [V] \quad (2.35)$$

Untuk phasa a pada posisi 2, b pada posisi 3, dan c pada posisi 1, maka:

$$V_{ab} = \frac{1}{2\pi K} \left(q_{a2} \ln \frac{D_{23}}{r} + q_{b2} \ln \frac{r}{D_{23}} + q_{c2} \ln \frac{D_{31}}{D_{12}} \right) [V] \quad (2.36)$$

Untuk phasa a pada posisi 3, b pada posisi 1 dan c pada posisi 2, maka:

$$V_{ab} = \frac{1}{2\pi K} \left(q_{a3} \ln \frac{D_{31}}{r} + q_{b3} \ln \frac{r}{D_{31}} + q_{c3} \ln \frac{D_{12}}{D_{23}} \right) [V] \quad (2.37)$$

Maka nilai rata-rata tegangan antara penghantar dapat dicari dan kapasitansi dihitung berdasarkan tegangan rata-rata. Tegangan rata-rata tersebut didapat dengan menjumlahkan persamaan dan membagi hasilnya dengan 3.

Tegangan rata-rata antara a dan b berdasarkan pengandaian muatan yang sama pada penghantar tanpa memperhitungkan posisinya pada periode transposisi adalah:

$$V_{ab} = \frac{1}{3} (V_{ab1} + V_{ab2} + V_{ab3}) \quad (2.38)$$

Sehingga:

$$V_{ab} = \frac{1}{6\pi K} \left(q_a \ln \frac{D_{12}D_{23}D_{31}}{r^3} + q_a \ln \frac{r^3}{D_{12}D_{23}D_{31}} + q_a \ln \frac{D_{12}D_{23}D_{31}}{D_{12}D_{23}D_{31}} \right) [V] \quad (2.39)$$

$$V_{ab} = \frac{1}{2\pi K} \left(q_a \ln \frac{D_{eq}}{r} + q_b \ln \frac{r}{D_{eq}} \right) [V] \quad (2.40)$$

Dengan:

$$D_{eq} = \sqrt[3]{D_{12} D_{23} D_{31}} [m] \quad (2.41)$$

Dengan cara yang sama diperoleh:

$$V_{ac} = \frac{1}{2\pi K} \left(q_a \ln \frac{D_{eq}}{r} + q_c \ln \frac{r}{D_{eq}} \right) [V] \quad (2.42)$$

Dengan menjumlahkan persamaan (2.40) dan (2.42) dapat diperoleh:

$$V_{ab} + V_{ac} = \frac{1}{2\pi K} \left(2q_a \ln \frac{D_{eq}}{r} + q_b \ln \frac{r}{D_{eq}} + q_c \ln \frac{r}{D_{eq}} \right) [V] \quad (2.43)$$

Karena $q_a + q_b + q_c = 0$ pada rangkaian tiga phasa yang seimbang dan $V_{ab} + V_{ac} = 3V_{an}$, sehingga:

$$V_{an} = \frac{q_a}{2\pi K} \ln \frac{D_{eq}}{r} [V] \quad (2.44)$$

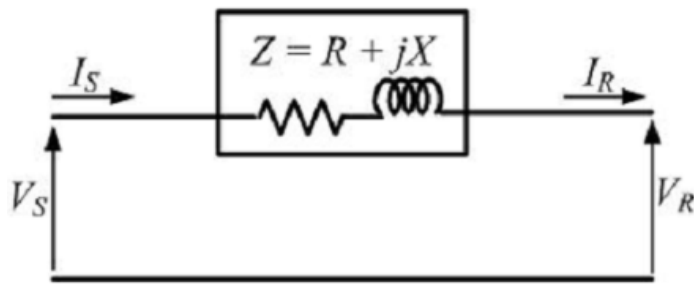
Sehingga diperoleh kapasitasnsi saluran adalah:

$$C_n = \frac{2\pi K}{\ln \frac{D_{eq}}{r}} \left[f/m \text{ ke netral} \right] \quad (2.45)$$

2.4 Karakteristik Saluran Transmisi

2.4.1 Saluran Transmisi Pendek

Saluran transmisi pendek didefinisikan sebagai saluran transmisi yang panjangnya kurang dari 80 km. Pada saluran model ini besar kapasitansi ke tanah sangat kecil, dengan demikian besar arus bocor ke tanah kecil terhadap arus beban, maka dalam hal ini kapasitansi ke tanah dapat diabaikan. Rangkaian ekivalen saluran transmisi pendek ditunjukkan pada Gambar 2.11 dengan kapasitansi saluran diabaikan.



Gambar 2. 12 Rangkaian ekuivalen saluran transmisi pendek

Hubungan tegangan dengan arus pada saluran transmisi pendek adalah sebagai berikut:

$$V_S = V_R + Z \cdot I_R \quad (2.46)$$

$$I_S = I_R \quad (2.47)$$

Dengan: V_S : tegangan saluran terhadap netral pada sisi pengirim (Volt)

V_R : tegangan saluran terhadap netral pada sisi penerima (Volt)

I_S : arus pada ujung pengirim (ampere)

I_R : arus pada ujung penerima (ampere).

Dalam matriks:

$$\begin{bmatrix} V_S \\ I_S \end{bmatrix} = \begin{bmatrix} A & B \\ C & D \end{bmatrix} \begin{bmatrix} V_R \\ I_R \end{bmatrix} \rightarrow \begin{bmatrix} V_S \\ I_S \end{bmatrix} = \begin{bmatrix} 1 & Z \\ 0 & 1 \end{bmatrix} \begin{bmatrix} V_R \\ I_R \end{bmatrix}$$

Sehingga, $A = D = 1$; $B = Z$; $C = 0$

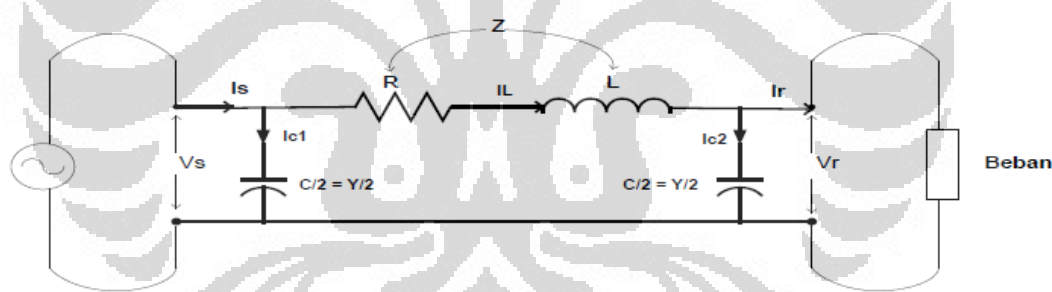
2.4.2 Saluran Transmisi Menengah

Saluran transmisi menengah didefinisikan sebagai saluran transmisi yang mempunyai panjang dari 80 km sampai 250 km. Pada saluran model ini besar kapasitansi ke tanah cukup besar sehingga tidak dapat diabaikan. Sehingga seluruh admitansi *shunt* saluran terpusat pada cabang *shunt*, di mana pada saluran transmisi menengah dibedakan menjadi dua model, yaitu:

1. Saluran transmisi menengah nominal Phi yaitu saluran transmisi dengan kapasitansi dipusatkan pada dua titik dan impedansi serinya dipusatkan satu titik pada cabang serinya.
2. Saluran transmisi menengah nominal T yaitu saluran transmisi dengan kapasitansi dipusatkan pada satu titik dan impedansi serinya terbagi dua pada kedua cabang serinya.

a. Saluran Transmisi Menengah Phi

Pada transmisi saluran ini akan diperhitungkan pengaruh kapasitansi pada saluran transmisi. Admitansi *shunt* yang biasanya merupakan kapasitansi murni dimasukkan dalam diperhitungkan untuk saluran jarak menengah. Jika keseluruhan admitansii *shunt* saluran dibagi dua sama besar dan ditempatkan masing-masing pada ujung penerima dan pengirim, maka dinamakan rangkaian berbentuk nominal Phi. Untuk mendapatkan suatu rumus untuk V_R kita akan berpedoman pada Gambar 2.12 di bawah ini.



Gambar 2. 13 Rangkaian ekuivalen saluran transmisi menengah phi

Hubungan tegangan dan arus pada saluran transmisi menengah nominal Phi adalah:

$$V_S = \left(1 + \frac{ZY}{2}\right) V_R + Z \cdot I_R \quad (2.48)$$

$$I_S = \left(Y + \frac{ZY^2}{4}\right) V_R + \left(1 + \frac{ZY}{2}\right) I_R \quad (2.49)$$

Dengan, Z: impedansi seri total perfasa (ohm/km)

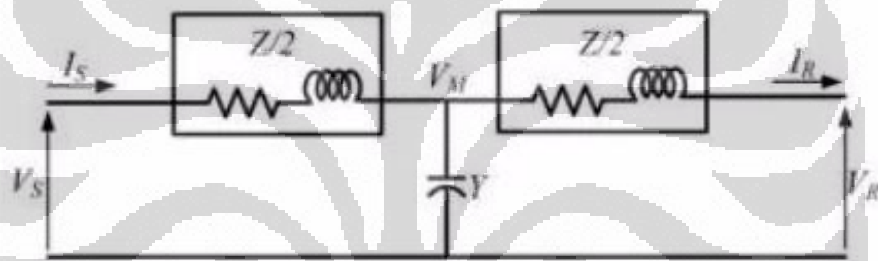
Y: admitansi *shunt* total perfasa ke netral (siemens/km)

Dalam matriks: $\begin{bmatrix} V_S \\ I_S \end{bmatrix} = \begin{bmatrix} 1 + \frac{ZY}{2} & Z \\ Y + \frac{ZY^2}{4} & 1 + \frac{ZY}{2} \end{bmatrix} \begin{bmatrix} V_R \\ I_R \end{bmatrix}$

Sehingga, $A = 1 + \frac{ZY}{2}$ $B = Z$ $C = Y + \frac{ZY^2}{4}$ $D = 1 + \frac{ZY}{2}$

b. Saluran Transmisi Menengah T

Dengan metode nominal T harga impedensi dibagi dua menjadi seri yang sama besarnya dan ditempatkan pada ujung pengirim dan ujung penerima dimana kapasitansi membatasi antara kedua impedansi seri tersebut. Dapat dilihat pada Gambar 2.13.



Gambar 2. 14 Rangkaian ekivalen saluran transmisi menengah T

Hubungan tegangan dan arus pada saluran transmisi menengah nominal T adalah:

$$V_S = \left(1 + \frac{ZY}{2}\right) V_R + \left(Z + \frac{Z^2Y}{4}\right) I_R \quad (2.50)$$

$$I_S = Y \cdot V_R + \left(1 + \frac{ZY}{2}\right) I_R \quad (2.51)$$

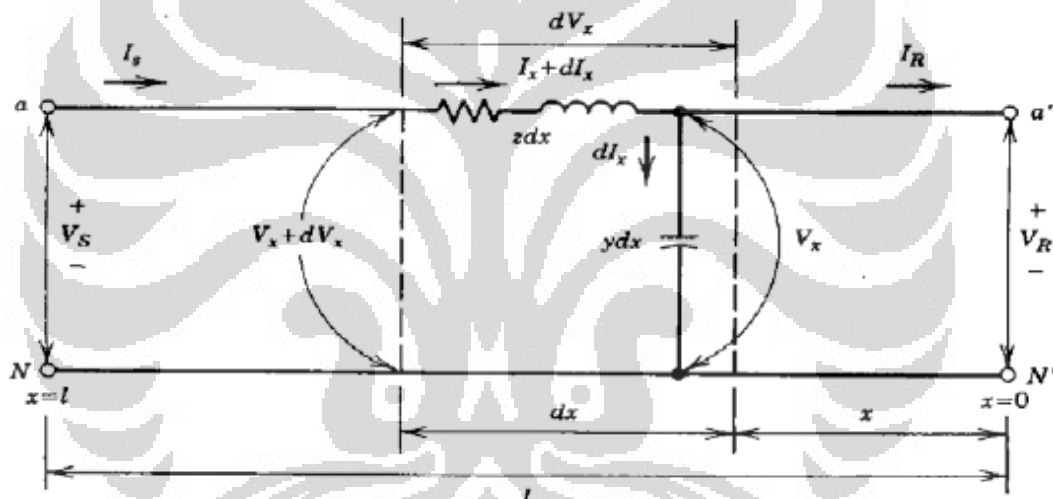
Dalam matriks: $\begin{bmatrix} V_S \\ I_S \end{bmatrix} = \begin{bmatrix} 1 + \frac{ZY}{2} & Z + \frac{ZY^2}{4} \\ Y & 1 + \frac{ZY}{2} \end{bmatrix} \begin{bmatrix} V_R \\ I_R \end{bmatrix}$

Sehingga, $A = 1 + \frac{ZY}{2}$ $B = Z + \frac{ZY^2}{4}$ $C = Y$ $D = 1 + \frac{ZY}{2}$

2.4.3 Saluran Transmisi Panjang

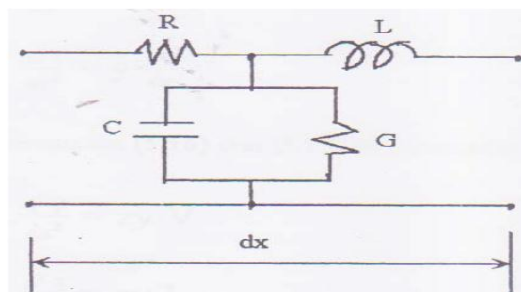
Saluran transmisi yang panjangnya lebih dari 250 km digolong pada saluran transmisi panjang. Besarnya reaktansi kapasitif paralel dan konduktansi semakin kecil sehingga arus bocor semakin besar. Jadi pada saluran panjang ini semua parameter R, L, C, dan G diperhitungkan secara terdistribusi sepanjang saluran.

Saluran transmisi panjang ditunjukkan seperti Gambar 2.14, dalam hal ini ditinjau bagian yang terpendek dari saluran yaitu elemen dx yang berjarak x dari sisi beban. Elemen saluran yang panjangnya dx terdiri dari impedansi seri z dan admittansi y persatuan panjang. Tegangan V dan arus I adalah besar tegangan dan arus pada sembarang titik yang berjarak x dari beban secara berturut-turut.



Gambar 2. 15 Rangkaian ekuivalen saluran transmisi panjang

Elemen dx terdiri dari impedansi seri z dan admittansi paralel y dalam bentuk persatuan panjang yang ditunjukkan seperti Gambar 2.15 dibawah ini,



Gambar 2. 16 Elemen saluran sepanjang dx

Dengan, $Z = R + j\omega L$, impedansi seri persatuan panjang (ohm/km),

$Y = G + j\omega C$, admintansi paralel persatuan panjang (siemens/km),

$Z = z\ell$, impedansi seri total (ohm),

$Y = y\ell$, admintansi paralel total (siemens).

Tegangan pada elemen dx adalah: $dV = I.z dx$ (2.52)

dan arus pada elemen dx adalah: $dI = V.y dx$. (2.53)

Turunkan persamaan (2.52) terhadap dx maka akan diperoleh,

$$\frac{d^2V}{dx^2} = Z \frac{dI}{dx} (2.54)$$

Selanjutnya substitusikan persamaan (2.53) ke (2.54) maka diperoleh,

$$\frac{d^2V_x}{dx^2} = yzV_x (2.55)$$

persamaan (2.55) adalah persamaan diferensial orde dua yang mana penyelesaiannya adalah sebagai berikut,

$$V_x = A_1 e^{\sqrt{zy}x} + A_2 e^{-\sqrt{zy}x} (2.56)$$

Substitusi persamaan (2.56) ke persamaan (2.52), diperoleh besar arus pada jarak x sebagai berikut.

$$\frac{d}{dx} (A_1 e^{\sqrt{zy}x} + A_2 e^{-\sqrt{zy}x}) = zI_x (2.57)$$

Selanjutnya diperoleh,

$$I_x = \frac{\sqrt{zy}}{z} (A_1 e^{\sqrt{zy}x} + A_2 e^{-\sqrt{zy}x})$$

$$I_x = \frac{1}{\sqrt[4]{y}} (A_1 e^{\sqrt{zy}x} + A_2 e^{-\sqrt{zy}x})$$

$$I_x = \frac{1}{z_c} (A_1 e^{\sqrt{z_c}x} + A_2 e^{-\sqrt{z_c}x}) \quad (2.58)$$

Konstanta A_1 dan A_2 ditentukan dengan memerhatikan kondisi saluran pada ujung penerima, dimana untuk jarak $x = 0$ harga tegangan $V=V_R$ dan harga arus $I=I_R$ dengan menyubstitusi nilai-nilai ini kepersamaan (2.57) dan persamaan (2.58) diperoleh konstanta:

$$A_1 = \frac{V_R + Z_C I_R}{2} \quad (2.59)$$

$$A_2 = \frac{V_R - Z_C I_R}{2} \quad (2.60)$$

Dengan mengganti A_1 dan A_2 pada persamaan (2.56) dan (2.58) akan diperoleh tegangan dan arus saluran transmisi pada sembarang titik yang berjarak x dari ujung penerima seperti yang ditunjukkan persamaan dibawah ini,

$$V_x = \frac{V_R + Z_C I_R}{2} e^{\gamma x} + \frac{V_R - Z_C I_R}{2} e^{-\gamma x} \quad (2.61)$$

$$I_x = \frac{V_R/Z_C + I_R}{2} e^{\gamma x} + \frac{V_R/Z_C - I_R}{2} e^{-\gamma x} \quad (2.62)$$

Persamaan (2.61) dan (2.62) merupakan gelombang tegangan dan arus pada jarak x dari sisi penerima, bagian pertama dari persamaan diatas adalah gelombang arah maju (*incident wave*) dan bagian kedua adalah gelombang arah mundur (*reflected wave*) dapat juga ditulis dengan rumus sebagai berikut,

$$V = V^+ + V^- \quad (2.63)$$

$$I = I^+ + I^- \quad (2.64)$$

dimana, $V^+ = \frac{V_R + Z_C I_R}{2} e^{\gamma x}$ Gelombang tegangan arah maju

$V^- = \frac{V_R - Z_C I_R}{2} e^{-\gamma x}$ Gelombang tegangan arah mundur

$I^+ = \frac{V_R/Z_C + I_R}{2} e^{\gamma x}$ Gelombang arus arah maju

$I^- = \frac{V_R/Z_C - I_R}{2} e^{-\gamma x}$ Gelombang arus arah mundur

Dari persamaan (2.61) dan (2.62) bila $x = 1$, besar tegangan V dan arus I akan sama dengan tegangan arus pada ujung pengirim yang diberikan oleh persamaan berikut,

$$V_S = \frac{V_R + Z_C I_R}{2} e^\gamma + \frac{V_R - Z_C I_R}{2} e^{-\gamma} \quad (2.65)$$

$$I_S = \frac{V_R/Z_C + I_R}{2} e^\gamma + \frac{V_R/Z_C - I_R}{2} e^{-\gamma} \quad (2.66)$$

$$\gamma = \sqrt{zy} = \alpha + j\beta \quad (2.67)$$

$$Z_c = \sqrt{\frac{z}{y}} \quad (2.68)$$

$$\text{Panjang gelombang adalah } \lambda = \frac{2\pi}{\beta} [km] \quad (2.69)$$

$$\text{Kecepatan rambat gelombang adalah } v = \lambda f [km/s] \quad (2.70)$$

dengan Z_c : imedansi karakteristik saluran [ohm]

γ : konstanta rambat gelombang,

α : konstanta redaman [neper/km]

β : konstanta sudut fasa [radian/km].

f : frekuensi listrik [Hz]

Tegangan dan arus pada setiap titik dari saluran transmisi panjang pada persamaan (2.61) dan (2.62) dapat dibuat dalam bentuk fungsi hiperbolis. Penggunaan fungsi hiperbolis memudahkan pembuktian persamaan tegangan saat saluran tersebut dibebani pada nilai SIL-nya. Penjelasan tentang hubungan SIL dengan tegangan pengirim dan penerima akan dibahas pada bab selanjutnya. Penurunan rumus tegangan dan arus pada saluran transmisi panjang dapat dilihat seperti dibawah ini,

$$V_x = \frac{V_R + Z_C I_R}{2} e^{\gamma x} + \frac{V_R - Z_C I_R}{2} e^{-\gamma x}$$

$$\begin{aligned}
&= \frac{V_R}{2} e^{\gamma x} + \frac{V_R}{2} e^{-\gamma x} + \frac{Z_C I_R}{2} e^{\gamma x} - \frac{Z_C I_R}{2} e^{-\gamma x} \\
&= \frac{e^{\gamma x} + e^{-\gamma x}}{2} V_R + Z_C \frac{e^{\gamma x} + e^{-\gamma x}}{2} I_R \\
V_x &= (\cosh \gamma x) V_R + (Z_C \sinh \gamma x) I_R \tag{2.71}
\end{aligned}$$

dan,

$$\begin{aligned}
I_x &= \frac{V_R/Z_C + I_R}{2} e^{\gamma x} + \frac{V_R/Z_C - I_R}{2} e^{-\gamma x} \\
&= \frac{V_R}{2Z_C} e^{\gamma x} - \frac{V_R}{2Z_C} e^{-\gamma x} + \frac{I_R}{2} e^{\gamma x} + \frac{I_R}{2} e^{-\gamma x} \\
&= \frac{\frac{1}{Z_C} e^{\gamma x} - e^{-\gamma x}}{2} V_R + \frac{e^{\gamma x} + e^{-\gamma x}}{2} I_R \\
I_x &= \left(\frac{1}{Z_C} \sinh \gamma x \right) V_R + (\cosh \gamma x) I_R \tag{2.72}
\end{aligned}$$

Dalam matriks dapat dituliskan $\begin{bmatrix} V_S \\ I_S \end{bmatrix} = \begin{bmatrix} \cosh \gamma x & Z_C \sinh \gamma x \\ \frac{1}{Z_C} \sinh \gamma x & \cosh \gamma x \end{bmatrix} \begin{bmatrix} V_R \\ I_R \end{bmatrix}$

Sehingga, $A = \cosh \gamma x$ $B = Z_C \sinh \gamma x$ $C = \frac{1}{Z_C} \sinh \gamma x$ $D = \cosh \gamma x$

BAB 3

PEMBEBANAN IMPEDANSI SURJA (*SURGE IMPEDANCE LOADING/SIL*)

3.1 Pengertian *Surge Impedance Loading*

Surge Impedance Loading (SIL) didefinisikan sebagai daya aktif (MW) yang disalurkan oleh saluran kepada beban resistif murni yang nilainya sama dengan nilai *surge impedance* saluran tersebut. Dimana *surge impedance* adalah impedansi karakteristik (Z_c) yang telah dibahas pada bab dua.

Saluran transmisi menghasilkan daya reaktif (MVAr) akibat kapasitansi naturalnya. Jumlah MVAr yang dihasilkan bergantung dari reaktansi kapasitifnya (X_C) dan tegangan (kV) pada saluran tersebut. Saluran transmisi juga menyerap daya reaktif untuk menghasilkan medan magnetnya. Kuat medan magnet bergantung pada arus yang mengalir pada saluran dan besar reaktansi induktifnya (X_L). Besar daya reaktif yang diserap juga tergantung pada arus dan X_L .

Saat suatu saluran transmisi dibebani pada level SIL-nya, maka saluran tersebut menghasilkan daya reaktif (MVAr) yang sama dengan daya reaktif yang diserapnya. Sehingga saluran tersebut bersifat resistif murni. Persamaan daya reaktif yang diserap dan yang dihasilkan oleh suatu saluran dapat ditulis sebagai,

$$MVAr \text{ dihasilkan} = \frac{kV^2}{X_C} \quad (3.1)$$

$$MVAr \text{ diserap} = I^2 X_L \quad (3.2)$$

Saat saluran dibebani pada level SIL-nya maka,

$$MVAr \text{ dihasilkan} = MVAr \text{ diserap}$$

$$\frac{kV^2}{X_C} = I^2 X_L$$

$$\frac{V}{I} = \sqrt{L/C} \quad (3.3)$$

Dengan V: tegangan antar fasa pada sisi penerima (V_R)

I: arus pada sisi penerima (I_R).

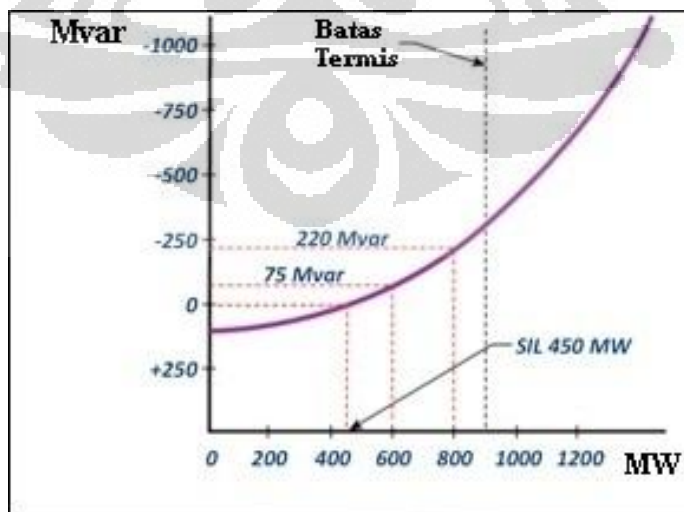
Seperti yang telah diketahui bahwa $Z_c = \sqrt{L/C}$ sehingga level SIL terjadi saat perbandingan tegangan penerima dan arus penerima sama dengan impedansi karakteristik dari suatu saluran. Besar daya aktif (MW) yang disalurkan saat level SIL dapat dirumuskan sebagai,

$$SIL = \frac{kV^2}{\sqrt{L/C}} \quad [MW] \quad (3.4)$$

dan arus I_R saat level SIL adalah,

$$I = \frac{V_R}{\sqrt{3} \times \sqrt{L/C}} \quad [A] \quad (3.5)$$

Jika penghantar dibebani dibawah nilai SIL nya, maka penghantar menyuplai daya reaktif ke sistem sehingga menaikkan tegangan. Sebaliknya, jika penghantar dibebani dibawah nilai SIL, maka penghantar akan menyerap daya reaktif sehingga menurunkan tegangan. Secara umum grafik SIL dapat dilihat seperti berikut,



Gambar 3. 1 Karakteristik SIL penghantar

3.2 Metode Menaikkan *Surge Impedance Loading*

Dari persamaan (3.4), dapat dilihat bahwa nilai SIL akan dipengaruhi besar impedansi karakteristik saluran. Besar impedansi karakteristik ini juga dipengaruhi oleh nilai induktansi dan kapasitansi saluran tersebut. Pada perumusan nilai induktansi dan kapasitansi saluran transmisi, dapat dilihat bahwa variabel yang memengaruhi besar dari induktansi dan kapasitansi adalah nilai *geometric mean distance* (GMD atau D_{Eq}) dan *geometric mean radius* (GMR atau r' atau D_s) dari saluran tersebut. Seperti yang telah diketahui, rumus induktansi dan kapasitansi saluran dapat dilihat kembali dibawah ini [2],

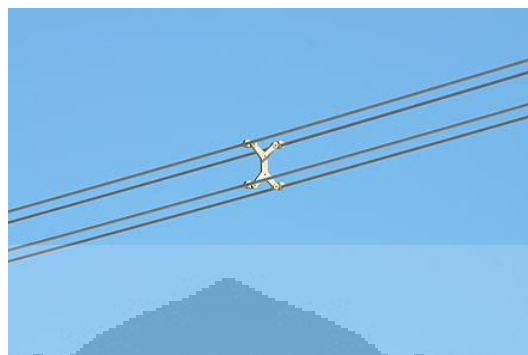
$$L_a = 0.7411 \log \frac{D_{eq}}{D_s} \quad [mH/km]$$

$$C_{ab} = \frac{0.0121}{\log \frac{D}{\sqrt{r}}} \quad [\mu F/km]$$

Sehingga untuk dapat mengubah dan menaikkan level SIL dapat dilakukan dengan mengubah-ubah besar dari *geometric mean distance* (GMD) dan *geometric mean radius* (GMR) pada suatu saluran. Mengubah GMD dan GMR dilakukan dengan mengubah konfigurasi saluran. Pada penelitian ini nilai SIL akan dinaikkan sehingga mengubah konfigurasi saluran dapat dilakukan dengan beberapa cara, antara lain [3]:

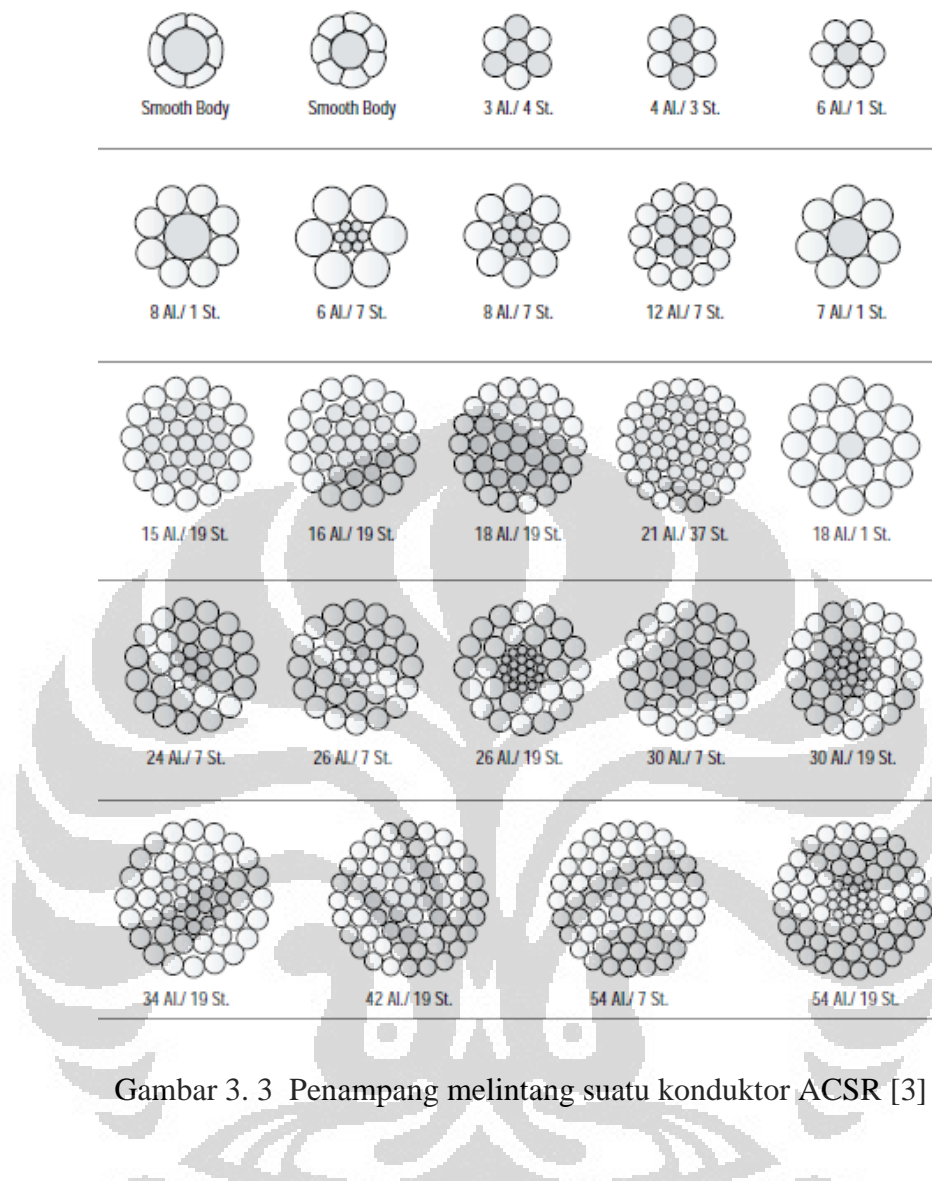
- Mendekatkan jarak antar fasa, mendekatkan jarak antar fasa akan menurunkan nilai GMD sehingga induktansi akan turun dan nilai SIL akan naik. Umumnya suatu saluran 500 kV menyusun konduktor tiap fasanya dalam konfigurasi horizontal dan vertikal ganda.
- Menjauhkan jarak antar subkonduktor, maka nilai GMR akan meningkat dan nilai induktansi akan menurun dan nilai SIL akan naik. Subkonduktor terdapat pada suatu *bundle conductor* (kawat berkas) dan umumnya kawat berkas digunakan pada saluran bertegangan diatas 70 kV. Kawat berkas adalah jenis saluran yang untuk tiap fasanya terdiri dari dua buah atau lebih konduktor yang disusun menurut konfigurasi tertentu, umumnya segitiga dan persegi.

Penggunaan kawat berkas bertujuan untuk mengurangi rugi korona dan memperbesar daya hantar suatu konduktor.



Gambar 3. 2 Suatu bundle conductor terdiri dari 4 kawat

- Memperbesar diameter konduktor, maka nilai GMR akan meningkat dan nilai induktansi akan menurun dan nilai SIL akan naik. Pada saluran transmisi umumnya digunakan *stranded conductor* (konduktor yang dipilin) yang terdiri dari beberapa *strand*. Konduktor ACSR (*alumunium conductor steel reinforced*) biasa digunakan dan biasanya terdiri dari 7 *strands* baja dan 48 *strands* alumunium. Penggunaannya dimaksudkan untuk mengurangi efek kulit.
- Menambah jumlah subkonduktor perfasa, maka nilai GMR akan meningkat dan nilai induktansi akan menurun dan nilai SIL akan naik. Pada saluran 500 kV umumnya digunakan *bundle conductor* dengan 4 buah subkonduktor. Dengan menambah jumlah subkonduktor untuk tiap *bundle conductor* maka akan menaikkan SIL.



Gambar 3. 3 Penampang melintang suatu konduktor ACSR [3]

Dengan mengaplikasikan keempat metode diatas maka nilai induktansi akan diturunkan dan nilai kapasitansi secara otomatis akan naik sehingga nilai SIL saluran tersebut akan meningkat. Dengan meningkatnya level SIL suatu saluran, maka susut tegangan akan semakin berkurang.

3.3 Karakteristik Saluran Transmisi Pada Level SIL

Pada persamaan (2.71) nilai I_R akan mengalami perubahan pada kondisi SIL sehingga persamaan tersebut,

$$V_s = \cosh(\gamma\ell) V_R + Z_C \sinh(\gamma\ell) I_R$$

Dapat diturunkan pada kondisi SIL sebagai berikut,

Pada kondisi SIL,

$$I_R = \frac{V_R}{Z_c} \quad (3.6)$$

Dengan menyubstitusikan persamaan (3.6) ke persamaan (2.71) maka diperoleh,

$$\begin{aligned} V_s &= \cosh(\gamma\ell) V_R + \sinh(\gamma\ell) V_R \\ V_s &= [\cosh(\gamma\ell) + \sinh(\gamma\ell)] V_R \end{aligned} \quad (3.7)$$

mengingat persamaan (2.67),

$$\begin{aligned} \gamma &= \sqrt{zy} = \alpha + j\beta \\ \cosh(\alpha\ell + j\beta\ell) &= \cosh \alpha\ell \cos \beta\ell + j \sinh \alpha\ell \sin \beta\ell \\ \sinh(\alpha\ell + j\beta\ell) &= \sinh \alpha\ell \cos \beta\ell + j \cosh \alpha\ell \sin \beta\ell \end{aligned} \quad (3.8)$$

Maka persamaan (3.7) menjadi,

$$V_s = (\cosh \alpha\ell + \sinh \alpha\ell)(\cos \beta\ell + j \sin \beta\ell) V_R \quad (3.9)$$

$$V_s = (\cosh \alpha\ell + \sinh \alpha\ell) V_R \angle \beta\ell \quad (3.10)$$

Dengan α : konstanta redaman [neper/mile]

β : konstanta sudut fasa [radian/mile].

Dari persamaan (3.10) dapat dilihat bahwa magnitude nilai tegangan pada sisi penerima bergantung pada nilai α . Dan sudut fasanya bergantung pada nilai β .

BAB 4

SIMULASI JARINGAN LISTRIK 500 KV JAWA-BALI

4.1 Jaringan 500 kV Jawa Bali

4.1.1 Gambaran Umum

Operasi Sistem Interkoneksi Jawa Bali pada sistem tegangan ekstra tinggi dan tegangan tinggi dikelola oleh PT PLN (Persero) Penyaluran dan Pusat Pengatur Beban Jawa Bali (PLN P3B Jawa Bali). Namun, saat ini struktur organisasi PT. PLN (Persero) P3B Jawa Bali dibagi menjadi empat bagian, yaitu unit P2B dan 3 (tiga) Unit Transmisi masing-masing yaitu Unit Transmisi Jawa Bagian Barat, Tengah dan Timur. Sistem Interkoneksi Jawa Bali terhubung satu sama lain melalui saluran transmisi 500 kV, 150 kV dan 70 kV [6].

Sistem interkoneksi memungkinkan adanya transfer antar area, sehingga kekurangan daya di suatu area akan dapat dipenuhi oleh area lain melalui jaringan interkoneksi. Sistem interkoneksi ini juga membuat setiap kejadian apapun pada salah satu komponen di Sistem Interkoneksi akan berpengaruh pada keseluruhan sistem. Operasi Sistem Jawa Bali dibagi menjadi dua hirarki [6]:

- a. Hirarki pertama adalah *Java Control Centre (JCC)* di bawah Badan Operasi Sistem (BOPS) yang berada di Gandul, Depok sebagai pengendali sistem Jawa Bali yang bertanggungjawab terhadap manajemen energi serta pengendalian operasi sistem penyaluran 500 kV.
- b. Hirarki kedua adalah empat *Regional Control Centre* di masing-masing region: *RCC Cawang* untuk Region/Area 1, *RCC Cigelereng* untuk Region/Area 2, *RCC Ungaran* untuk Region/Area 3 serta *RCC Waru* untuk Region/Area 4. Khusus untuk wilayah Bali dikendalikan oleh *Sub-Region Control Centre* Bali di Denpasar yang secara teknis berfungsi sebagai region sendiri tetapi secara administratif di bawah Region 4. *RCC* dan *Sub-RCC* bertanggungjawab terhadap pengendalian jaringan 150 kV dan 70 kV di wilayah kerjanya serta meneruskan perintah *JCC* ke unit pembangkit yang beroperasi di sistem 150 kV dan 70 kV.

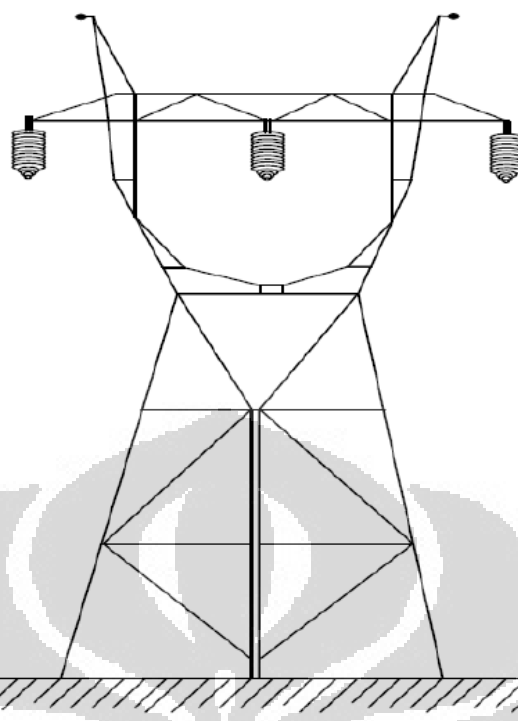


Gambar 4. 1 Topologi Jaringan Jawa Bali[7]

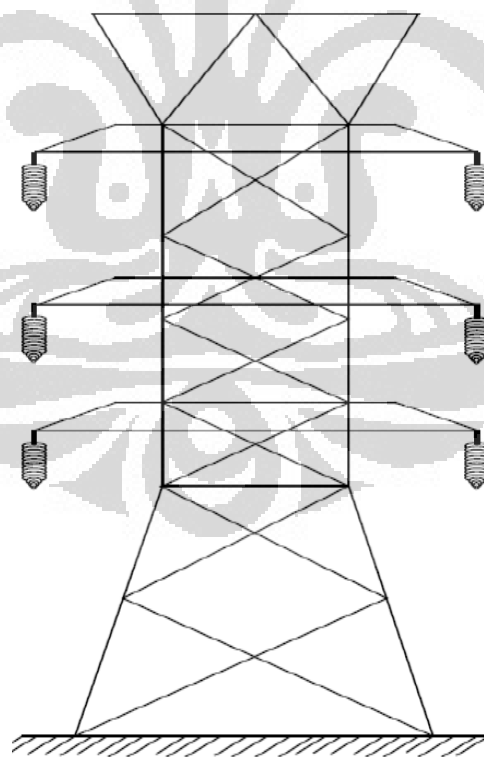
4.1.2 Saluran Transmisi 500 kV Jawa Bali

Saluran Transmisi Jawa Bali umumnya menggunakan konduktor ACSR Gannet dan ACSR Dove. Kedua jenis ACSR ini memiliki spesifikasi jumlah *strand* yang sama yaitu 7 *strand* baja dan 26 *strand* alumunium. Perbedaan antara konduktor Gannet dan Dove adalah pada diameternya, baik diameter baja maupun diameter aluminiumnya. Untuk saluran transmisi 500 kV digunakan kawat berkas (*bundle conductor*) dengan 4 buah *stranded conductor*.

Pada jaringan 500 kV Jawa Bali panjang saluran transmisi bervariasi dan memiliki konfigurasi yang beragam. Konduktor yang digunakan juga beragam. Konfigurasi yang umum digunakan dalam saluran transmisi adalah konfigurasi horizontal tunggal dan konfigurasi vertikal ganda. Daftar saluran transmisi jaringan 500 kV Jawa Bali dapat dilihat pada Tabel 4.1 dan konfigurasi horizontal dan vertikal dapat dilihat pada gambar dibawah,



Gambar 4. 2 Konfigurasi saluran tunggal horizontal [1]



Gambar 4. 3 Konfigurasi saluran vertikal ganda [1]

Tabel 4. 1 Saluran transmisi 500 kV Jawa Bali

No	ID	Panjang (Kms)	Jenis Saluran	Konduktor
1	BDSLNG-SGLNG 1	39	1CCT 1TWR	GANNET
2	BDSLNG-SGLNG 2	39	1CCT 1TWR	GANNET
3	CIBNG-BKASI	37.9	1CCT 1TWR	DOVE
4	CIBNG-DEPOK	15.57	2CCT 1TWR	DOVE
5	CLGON-CIBNG	130.81	1CCT 1TWR	GANNET
6	CRATA-CBATU	46.757	2CCT 1TWR	DOVE
7	CWANG-BKASI	16.84	1CCT 1TWR	DOVE
8	DEPOK-GNDUL	7.5	2CCT 1TWR	DOVE
9	GNDUL-KMBGN	30.1	2CCT 1TWR	GANNET
10	GRATI-SBBRT	92.4	2CCT 1TWR	GANNET
11	GRSIK-SBBRT	23.9	2CCT 1TWR	DOVE
12	KDRI-PEDAN	204.5	2CCT 1TWR	GANNET
13	MDCAN-BDSLNG	119.4	1CCT 1TWR	DOVE
14	MTWAR-CBATU	48.4	2CCT 1TWR	DOVE
15	MTWAR-CIBNG	53	1CCT 1TWR	DOVE
16	MTWAR-CWANG	48	1CCT 1TWR	DOVE
17	NBANG-UNGAR	207.7	1CCT 1TWR	DOVE
18	NEW BLRJA-GNDUL 1	50.84	1CCT 1TWR	DOVE
19	NEW BLRJA-GNDUL 2	50.84	1CCT 1TWR	DOVE
20	NEW SRLYA-SRLYA	1.25	1CCT 1TWR	DOVE
21	PEDAN-TASIK	304	2CCT 1TWR	GANNET
22	PITON-GRATI	87.9	2CCT 1TWR	GANNET
23	PITON-KDIRI	209.1	2CCT 1TWR	GANNET
24	SBBRT-NBANG	50.981	1CCT 1TWR	DOVE
25	SBBRT-UNGAR	267.11	1CCT 1TWR	DOVE
26	SGLNG-CBNG 1	80.4	1CCT 1TWR	GANNET
27	SGLNG-CIBNG 1	83.8	1CCT 1TWR	GANNET
28	SGLNG-CRATA	25.2	2CCT 1TWR	DOVE
29	SRLYA-CLGON	12.48	2CCT 1TWR	GANNET
30	SRLYA-NEW BLRJA 1	64.3	1CCT 1TWR	DOVE
31	SRLYA-NEW BLRJA 2	64.3	1CCT 1TWR	DOVE
32	TASIK-DEPOK	279.5	2CCT 1TWR	GANNET
33	TJATI-UNGAR	134.8	2CCT 1TWR	GANNET
34	UNGAR-MDCAN 1	230	1CCT 1TWR	DOVE
35	UNGAR-MDCAN 2	229.5	1CCT 1TWR	DOVE
36	UNGAR-PEDAN	77.1	1CCT 1TWR	DOVE

4.2 Pengambilan Data Penelitian

4.2.1 Simulasi Jaringan 500 kV Jawa Bali

Dalam penelitian ini, objek yang ingin diteliti adalah nilai dari susut tegangan pada suatu bus. Nilai susut tegangan akan diamati pada berbagai macam variasi konfigurasi saluran. Hal yang akan divariasikan adalah diameter konduktor (baik aluminium maupun baja), jarak antar subkonduktor, jumlah subkonduktor dalam satu *bundle* dan jarak antar fasa. Saluran yang dipilih untuk diamati adalah saluran TASIK-DEPOK. Pemilihan saluran ini dikarenakan saluran transmisi dari GITET Tasik ke GITET Depok tersebut memiliki panjang yang paling panjang yaitu 279.5 kms. Sehingga variasi yang dilakukan akan terlihat signifikan.

Dari data-data yang diperoleh dari P.T. PLN (Persero) P3B Jawa Bali dapat dibuat suatu simulasi jaringan 500 kV Jawa Bali dengan menggunakan perangkat lunak ETAP 12.6.0 (*Electrical Transient and Analysis Program*). Simulasi yang dilakukan adalah simulasi analisa aliran daya sehingga tegangan pada setiap bus pada saat sistem beroperasi dapat diketahui.

Khusus pada saluran transmisi, parameter-parameter yang perlu dimasukkan pada ETAP akan dimasukkan berdasarkan perhitungan yang dilakukan sebelumnya. Hal ini dikarenakan variasi-variasi yang dilakukan sepanjang penelitian akan memengaruhi secara langsung nilai dari parameter-parameter tersebut. Parameter yang perlu dimasukkan pada rating saluran transmisi di ETAP antara lain reaktansi (X) dan *susceptance* (Y).

4.2.2 Perhitungan X dan Y Saluran Transmisi

Dengan digunakannya kawat berkas dan beragam konfigurasi saluran transmisi, maka perhitungan nilai X dan Y dari saluran transmisi 500 kV Jawa Bali perlu diperhatikan. Berikut adalah rumus *geometric mean radius* (GMR) untuk masing-masing konfigurasi kawat berkas.

Tabel 4. 2 Rumus GMR untuk setiap kawat berkas

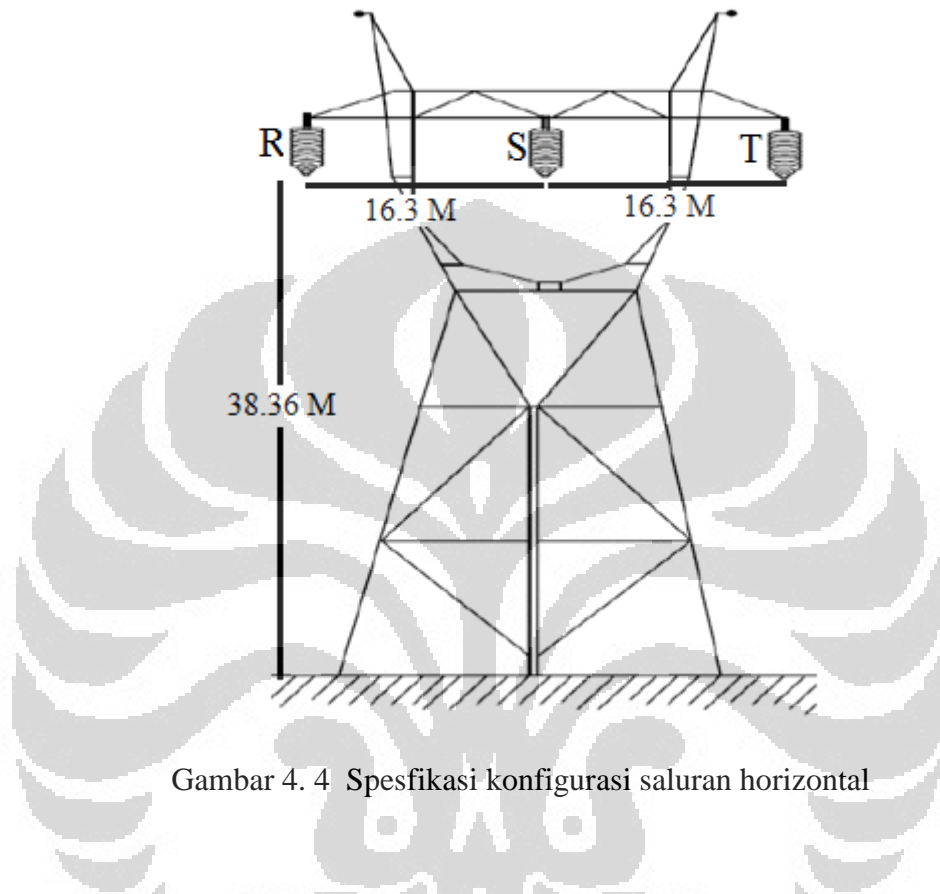
Jumlah Konduktor	Konfigurasi	Rumus GMR
2		$GMR = \sqrt{r'd}$
3		$GMR = \sqrt[3]{r'd^2}$
4		$GMR = 1.09 \sqrt[4]{r'd^3}$
6		$GMR = 1.272 \sqrt[6]{r'd^5}$

Dengan r' adalah GMR dari setiap *stranded conductor* ACSR yang digunakan dalam kawat berkas tersebut. Satuan yang digunakan pada r' dan d adalah meter dan GMR yang dihasilkan dalam satuan meter. Khusus untuk perhitungan kapasitansi saluran, r' diganti dengan r (jari-jari) *stranded conductor* ACSR.

a. Saluran konfigurasi horizontal

Pada jaringan 500 kV Jawa Bali terdapat saluran transmisi yang digunakan dalam konfigurasi horizontal. Baik dalam horizontal tunggal maupun horizontal ganda. Dalam tabel 4.1 kolom jenis saluran, 1CCT1TWR (1 circuit 1 tower) berarti

saluran horizontal tunggal dan 2CCT2TWR (2 circuit 2 tower) berarti saluran horizontal ganda. Berikut adalah konfigurasi saluran horizontal pada saluran 500 kV Jawa Bali,



Dengan spesifikasi panjang seperti gambar diatas, dapat dihitung nilai dari *geometric mean distance (GMD)* dari saluran horizontal tersebut. Rumus GMD saluran tersebut adalah

$$GMD = \sqrt[3]{D_{RS}D_{ST}D_{RT}} \quad (4.1)$$

Dengan, D_{RS} : Jarak antara fasa R dan S (m)

D_{ST} : Jarak antara fasa S dan T (m)

D_{RT} : Jarak antara fasa R dan T (m)

Selanjutnya dapat diturunkan rumus induktansi dan kapasitansi dari saluran horizontal tersebut sebagai berikut,

$$L = 0.461 \log \frac{GMD}{GMR} \quad (4.2)$$

$$C = \frac{0.0242}{\log \frac{GMD}{GMR}} \quad (4.3)$$

Dengan, L : Induktansi (mH/fasa/km)

C : Kapasitansi (μ F/km ke netral)

GMD : *geometric mean distance* (m)

GMR : *geometric mean radius* (m)

Selanjutnya dapat diturunkan rumus reaktansi dan *susceptance* dari saluran horizontal tersebut sebagai berikut,

$$X = 0.314 \times L \quad (4.4)$$

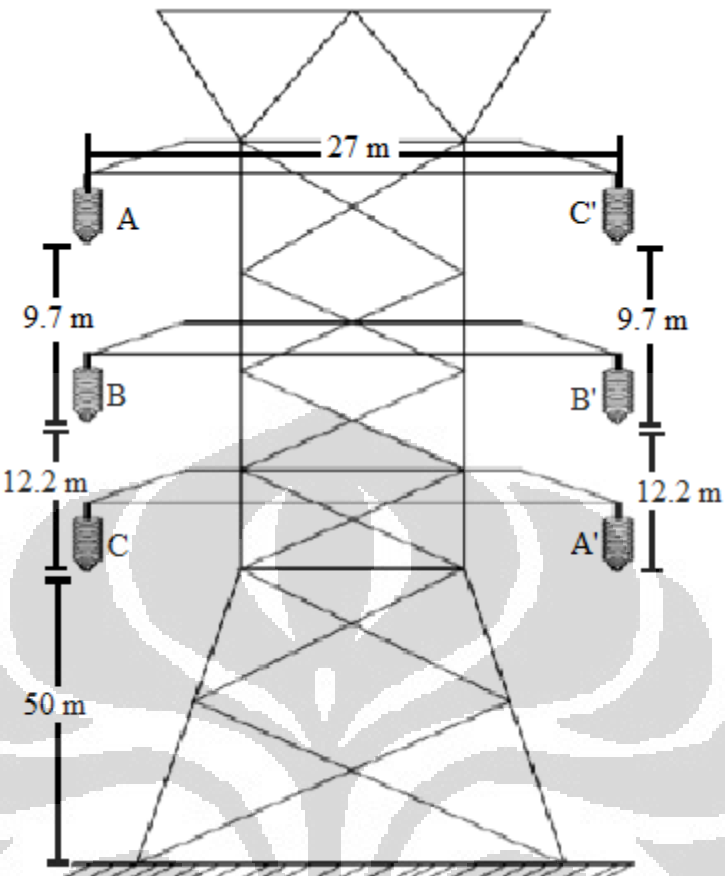
$$Y = 314 \times C \quad (4.5)$$

Dengan, X : Reaktansi (ohm/fasa/km)

Y : *Susceptance* (μ Siemens/km)

b. Saluran Vertikal

Saluran vertikal yang digunakan dalam sistem 500 kV Jawa Bali umumnya saluran vertikal ganda. Dalam Tabel 4.1, 2CCT1TWR (2 circuit 1 tower) berarti saluran vertikal ganda. Berikut adalah konfigurasi saluran vertikal ganda pada jaringan 500 kV Jawa Bali,



Gambar 4. 5 Spesifikasi saluran vertikal ganda

Terdapat perbedaan dalam menghitung D_{eq}/GMD dan D_s/GMR untuk saluran vertikal ganda. Perhitungan rumus D_{eq} dan D_s saluran vertikal ganda adalah sebagai berikut,

$$D_{ab} = \sqrt[4]{D_{AB}D_{AB'}D_{A'B}D_{A'B'}}$$

$$D_{bc} = \sqrt[4]{D_{BC}D_{BC'}D_{B'C}D_{B'C'}}$$

$$D_{ac} = \sqrt[4]{D_{AC}D_{AC'}D_{A'C}D_{A'C'}}$$

$$D_{eq} = \sqrt[3]{D_{ab}D_{bc}D_{ac}} \quad (4.6)$$

dan penurunan rumus untuk D_s adalah sebagai berikut,

$$D_{sa} = \sqrt[4]{GMR^2 D_{AA'} D_{A'A}}$$

$$D_{sb} = \sqrt[4]{GMR^2 D_{BB'} D_{B'B}}$$

$$D_{sc} = \sqrt[4]{GMR^2 D_{CC'} D_{C'C}}$$

$$D_s = \sqrt[3]{D_{sa} D_{sb} D_{sc}} \quad (4.7)$$

Selanjutnya dapat diturunkan rumus induktansi dan kapasitansi dari saluran vertikal ganda tersebut sebagai berikut,

$$L = 0.461 \log \frac{D_{eq}}{D_s} \quad (4.8)$$

$$C = \frac{0.0242}{\log \frac{D_{eq}}{D_s}} \quad (4.9)$$

Dengan, L : Induktansi (mH/fasa/km)

C : Kapasitansi ($\mu\text{F}/\text{km}$ ke netral)

D_{eq} : *Mutual GMD* (m)

D_s : *Self GMD* (m)

Untuk rumus reaktansi dan *susceptance* sama seperti persamaan (4.4) dan (4.5).

BAB 5

ANALISIS HASIL SIMULASI

5.1 Saluran Transmisi 500 kV TASIK-DEPOK

Saluran transmisi 500 kV dari Gardu Induk Tegangan Ekstra Tinggi (GITET) Tasik ke GITET Depok menggunakan konfigurasi vertikal ganda. Saluran TASIK-DEPOK memiliki panjang saluran sepanjang 279.5 kms. Data mengenai saluran TASIK-DEPOK dapat dilihat dibawah ini,

- | | |
|--------------------------------|--------------------------------|
| • Konduktor | : ACSR Gannet |
| • Jumlah baja/aluminium | : 7/26 |
| • Jari-jari baja/aluminium | : 0.1581 cm/0.20335 cm |
| • Jumlah subkonduktor per fasa | : 4 |
| • Jarak antar subkonduktor | : 40 cm |
| • Konfigurasi kawat berkas | : Persegi (<i>Quadruple</i>) |
| • Jenis saluran | : Vertikal ganda |

Untuk jarak antar fasa dan konfigurasi saluran TASIK-DEPOK sama seperti Gambar 4.5.

Dari data diatas selanjutnya dapat diketahui nilai dari parameter-parameter saluran transmisi pada saluran TASIK-DEPOK adalah sebagai berikut,

$$L = 0.4259 \text{ (mH/fasa/km)}$$

$$C = 0.0266 \text{ (\mu F/km ke netral)}$$

$$X = 0.1337 \text{ (ohm/fasa/km)}$$

$$Y = 8.3481 \text{ (\mu Siemens/km)}$$

$$Z_c = 126.5648 \text{ (ohm)}$$

$$SIL = 1975.2729(\text{MW})$$

Pada diagram satu garis jaringan 500 kV Jawa Bali, saluran TASIK-DEPOK menghubungkan busbar GITET Tasik dengan busbar GITET Depok. Aliran daya mengalir dari GITET Tasik menuju GITET Depok. Busbar GITET Depok juga tersambung ke busbar GITET Gandul dan GITET Cibinong. Pada busbar GITET Depok juga terpasang 2 unit IBT 500kV/150kV dengan kapasitas 500 MVA.

5.2 Mengubah Jari-Jari ACSR Gannet

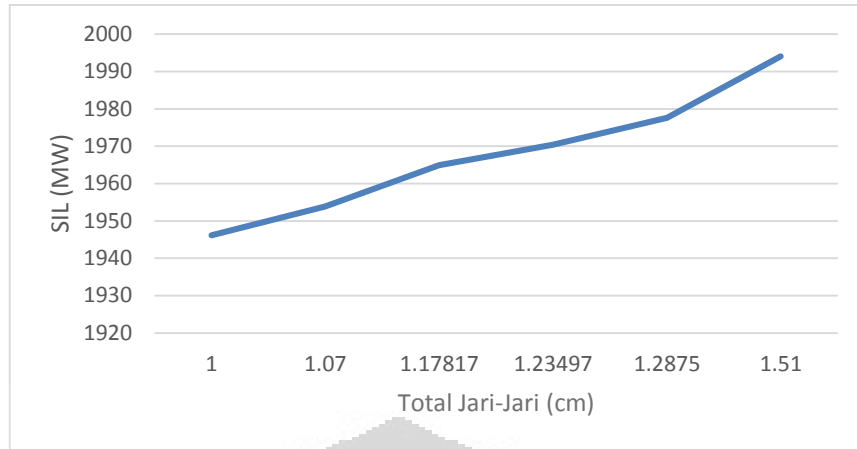
Karena konduktor yang digunakan adalah konduktor ACSR, maka variasi pengubahan jari-jari dilakukan untuk *strand* baja dan *strand* aluminium. Data yang diperoleh dari hasil simulasi dapat dilihat pada Tabel 5.1.

Baris dengan warna hijau merupakan data awal konduktor yang digunakan. Variasi jari-jari dilakukan dengan memperbesar dan memperkecil jari-jari dari *stranded conductor*. Dari Tabel 5.1, dapat dilihat bahwa nilai induktansi dan reaktansi akan meningkat saat jari-jari diperpendek dan sebaliknya, akan berkurang saat jari-jari diperpanjang. Sedangkan nilai kapasitansi dan *susceptance* akan meningkat saat jari-jari diperpanjang dan sebaliknya, akan berkurang saat jari-jari diperpendek. Hal ini disebabkan karena saat jari-jari diperpanjang, maka akan memperbesar nilai dari r' dan selanjutnya akan memperbesar nilai dari GMR.

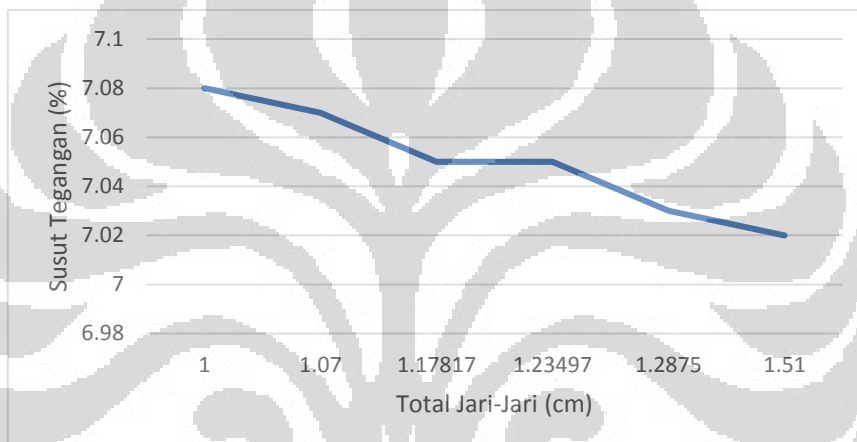
Dengan pengaruh tersebut, maka akan berdampak pada nilai impedansi karakteristik (Z_c), SIL dan nilai tegangan pada bus DEPOK. Pengaruh yang terjadi dapat dilihat pada Tabel 5.1. Saat nilai induktansi berkurang dan nilai kapasitansi meningkat, maka nilai Z_c akan berkurang dan nilai SIL akan meningkat. Lebih jauh lagi nilai tegangan bus DEPOK akan meningkat karena susut tegangan pada saluran TASIK-DEPOK berkurang. Pada Tabel 5.1 dapat dilihat tegangan bus DEPOK paling besar pada data ke-4, dimana saat jari-jari *stranded conductor* paling besar.

Tabel 5. 1 Data parameter akibat pengubahan jari-jari konduktor

No	r St (cm)	r Al (cm)	r total (cm)	Selisih r total (cm)	% pengubahan	L (mH/ phase/km)	X (ohm/ phase/km)	C (μ F/km ke netral)	Y (μ mho/ km)	Zc (ohm)	SIL (MW)	% V DEPOK	ΔV (%) TASIK- DEPOK
1	0.12	0.16	1	-0.288	-22.33	0.4322	0.13571	0.0262	8.224	128.459	1946.14	96.08	7.08
2	0.13	0.17	1.07	-0.218	-16.89	0.4305	0.13518	0.0263	8.257	127.952	1953.851	96.09	7.07
3	0.14499	0.1858	1.17817	-0.109	-8.49	0.4281	0.13442	0.0264	8.304	127.231	1964.932	96.11	7.05
4	0.14499	0.2	1.23497	-0.053	-4.08	0.4269	0.13405	0.0265	8.327	126.878	1970.396	96.12	7.05
5	0.1581	0.20335	1.2875	0.000	0.00	0.4248	0.13340	0.0266	8.348	126.412	1977.657	96.13	7.03
6	0.17	0.25	1.51	0.223	17.28	0.4219	0.13247	0.0268	8.428	125.371	1994.073	96.16	7.02



Gambar 5. 1 Grafik SIL akibat pengubahan jari-jari konduktor



Gambar 5. 2 Grafik susut tegangan akibat pengubahan jari-jari konduktor

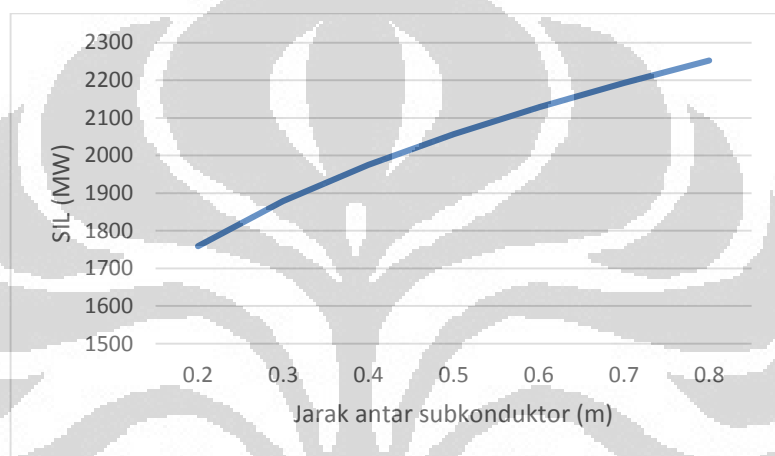
5.3 Mengubah Jarak Antar Subkonduktor

Dalam saluran TASIK-DEPOK konfigurasi kawat berkas yang digunakan adalah konfigurasi persegi (empat buah subkonduktor) dengan jarak antar subkonduktor sejauh 40 cm. Data yang diperoleh dari hasil simulasi dapat dilihat pada Tabel 5.2.

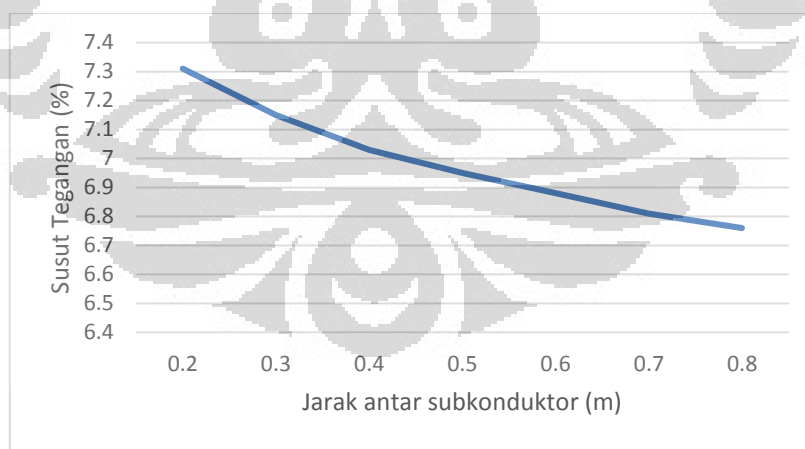
Variasi jarak antar subkonduktor dalam satu kawat berkas dilakukan dengan menjauhkan dan mendekatkan jaraknya. Dari Tabel 5.2 dapat dilihat bahwa semakin jauh jarak antar subkonduktor maka nilai induktansi dan reaktansi akan semakin kecil dan sebaliknya. Sedangkan untuk nilai kapasitansi dan *susceptance* akan semakin besar saat jarak antar subkonduktor semakin jauh dan sebaliknya. Hal

ini disebabkan karena perubahan jarak antar subkonduktor akan berpengaruh kepada nilai GMR dari kawat berkas tersebut. Semakin jauh jarak antar subkonduktor maka nilai GMR akan semakin besar dan sebaliknya.

Dari pengaruh terhadap nilai parameter diatas, maka nilai Z_c , SIL dan tegangan pada bus DEPOK akan mengalami perubahan juga. Semakin jauh jarak antar subkonduktor maka nilai Z_c akan semakin kecil dan nilai SIL akan semakin besar. Selanjutnya akan menyebabkan nilai susut tegangan akan semakin kecil dan tegangan pada bus DEPOK akan semakin besar.



Gambar 5. 3 Grafik SIL akibat pengubahan jarak antar subkonduktor



Gambar 5. 4 Grafik susut tegangan akibat pengubahan jarak antar subkonduktor

Tabel 5. 2 Data parameter akibat pengubahan jarak antar subkonduktor

No	Jarak (m)	Selisih jarak (m)	% pengubahan	L (mH/phase/km)	X (ohm/phase/km)	C (μ F/km ke netral)	Y (μ mho/km)	Zc (ohm)	SIL (MW)	% V DEPOK	$\Delta V (%)$ TASIK-DEPOK
1	0.2	-0.2	-50	0.4779	0.1501	0.0237	7.4270	142.1458	1758.758	95.79	7.31
2	0.3	-0.1	-25	0.4475	0.1405	0.0253	7.9395	133.0315	1879.254	95.98	7.15
3	0.4	0	0	0.4259	0.1337	0.0266	8.3481	126.5648	1975.273	96.13	7.03
4	0.5	0.1	25	0.4091	0.1285	0.0277	8.6953	121.5488	2056.787	96.25	6.95
5	0.6	0.2	50	0.3954	0.1242	0.0287	9.0011	117.4505	2128.557	96.36	6.88
6	0.7	0.3	75	0.3839	0.1205	0.0295	9.2770	113.9853	2193.264	96.46	6.81
7	0.8	0.4	100	0.3738	0.1174	0.0304	9.5300	110.9837	2252.583	96.55	6.76

5.4 Mengubah Jumlah Subkonduktor

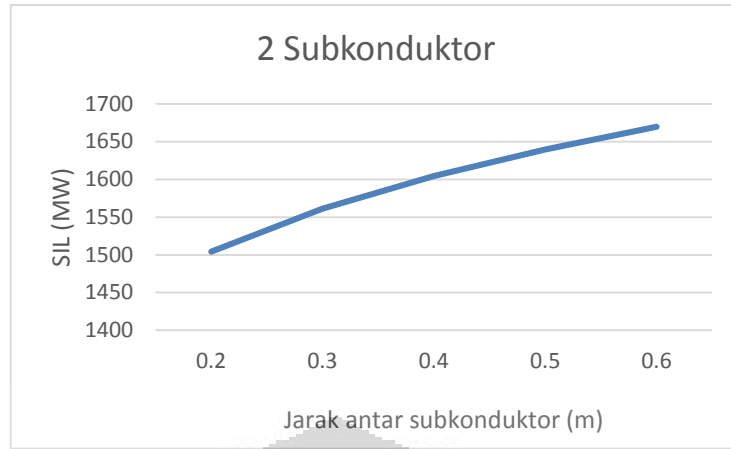
Pada saluran TASIK-DEPOK, jumlah subkonduktor yang digunakan sebanyak 4 buah ACSR Gannet. Variasi yang akan dilakukan adalah mengubah jumlah subkonduktor menjadi 2 buah, 3 buah dan 6 buah. Untuk masing-masing pengubahan jumlah subkonduktor, akan dilakukan juga variasi jarak antar subkonduktor sebanyak 5 data. Data simulasi untuk variasi jumlah subkonduktor dapat dilihat pada Tabel 5.3.

Pengubahan jumlah subkonduktor dalam satu buah kawat berkas berdampak pada berubahnya perhitungan GMR dari kawat berkas tersebut. Sehingga akan berpengaruh pada nilai parameter saluran transmisi. Nilai reaktansi akan semakin kecil saat jumlah subkonduktor diperbanyak dan sebaliknya. Sedangkan nilai *susceptance* akan semakin besar saat jumlah subkonduktor diperbanyak dan sebaliknya.

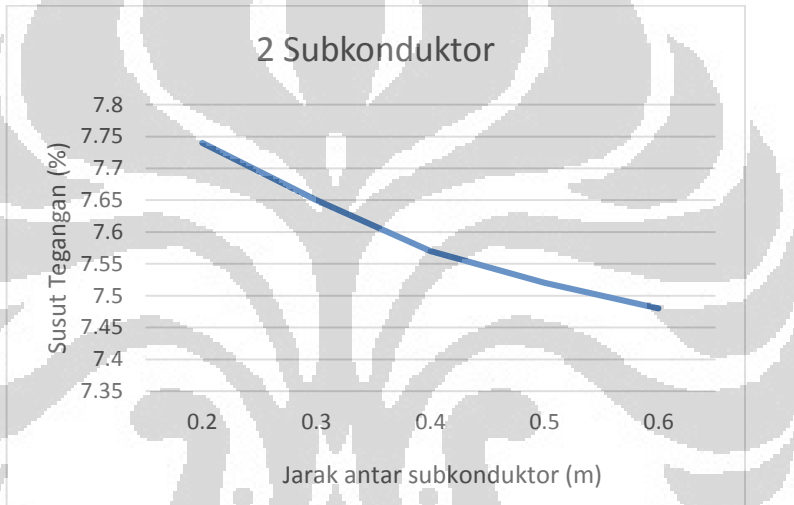
Dapat dilihat dari data diatas bahwa semakin banyak jumlah subkonduktor yang digunakan dalam kawat berkas, maka nilai SIL akan semakin besar dan tegangan bus DEPOK akan semakin tinggi. Untuk setiap variasi jarak antar subkonduktor, dapat ditarik kesimpulan yang sama bahwa semakin jauh jarak antar subkonduktor maka nilai SIL akan semakin besar dan tegangan bus DEPOK akan semakin tinggi.

Tabel 5. 3 Data parameter akibat pengubahan jumlah subkonduktor

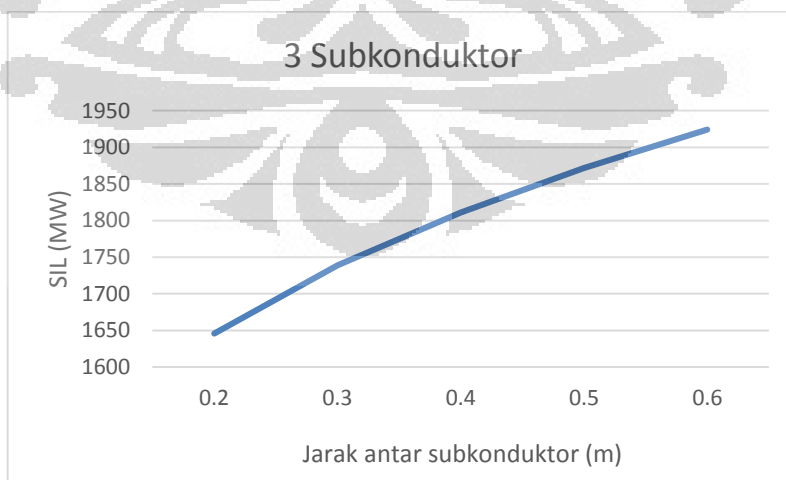
No	Jumlah subkonduktor	Selisih jumlah	% selisih jumlah	Jarak (m)	Selisih jarak (m)	% Selisih Jarak	L (mH/phase/km)	X (ohm/phase/km)	C (μ F/km ke netral)	Y (μ mho/km)	Zc (ohm)	SIL (MW)	%V DEPOK	ΔV (%) TASIK-DEPOK
1	4	0	0	0.4	0	0	0.4248	0.1334	0.0266	8.3480	126.41	1977.66	96.13	7.03
2				0.2	-0.2	-50	0.5614	0.1763	0.0203	6.3816	166.21	1504.13	95.39	7.74
3				0.3	-0.1	-25	0.5412	0.1699	0.0211	6.6266	160.13	1561.20	95.49	7.65
4				0.4	0	0	0.5268	0.1654	0.0217	6.8121	155.82	1604.40	95.56	7.57
5				0.5	0.1	25	0.5156	0.1619	0.0222	6.9633	152.48	1639.59	95.61	7.52
6				0.6	0.2	50	0.5065	0.1590	0.0226	7.0920	149.74	1669.51	95.66	7.48
7	2	-2	-50	0.2	-0.2	-50	0.5115	0.1606	0.0222	6.9620	151.89	1645.94	95.62	7.48
8				0.3	-0.1	-25	0.4845	0.1521	0.0234	7.3576	143.79	1738.68	95.76	7.36
9				0.4	0	0	0.4653	0.1461	0.0244	7.6668	138.04	1811.08	95.88	7.25
10				0.5	0.1	25	0.4504	0.1414	0.0252	7.9251	133.58	1871.53	95.97	7.18
11				0.6	0.2	50	0.4382	0.1376	0.0260	8.1494	129.94	1924.00	96.05	7.12
12	6	2	50	0.2	-0.2	-50	0.4374	0.1374	0.0257	8.0850	130.34	1918.02	96.03	7.1
13				0.3	-0.1	-25	0.4036	0.1267	0.0279	8.7696	120.22	2079.59	96.28	6.91
14				0.4	0	0	0.3796	0.1192	0.0297	9.3302	113.03	2211.79	96.48	6.78
15				0.5	0.1	25	0.3610	0.1134	0.0313	9.8169	107.46	2326.50	96.65	6.68
16				0.6	0.2	50	0.3458	0.1086	0.0327	10.2540	102.90	2429.45	96.81	6.58



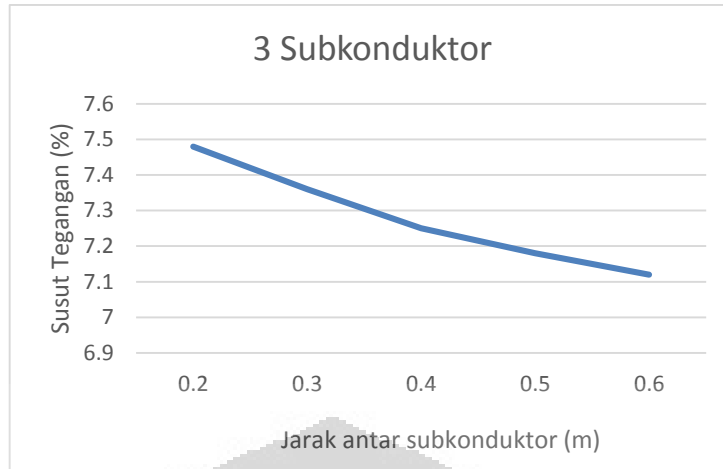
Gambar 5. 5 Grafik SIL akibat pengubahan jarak antar 2 subkonduktor



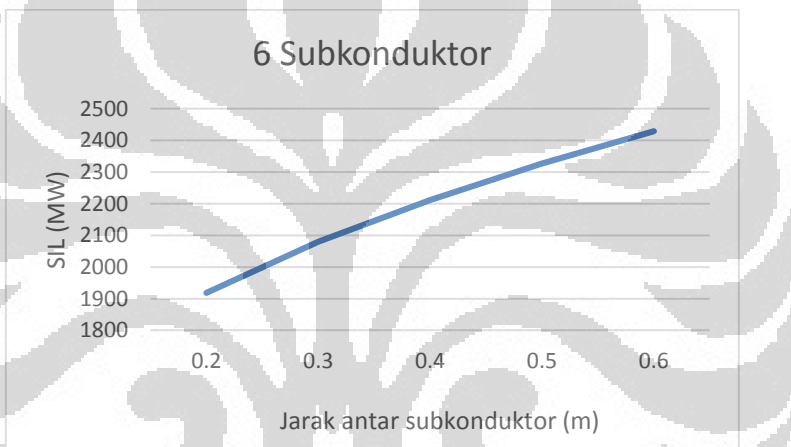
Gambar 5. 6 Grafik susut tegangan akibat pengubahan jarak antar 2 subkonduktor



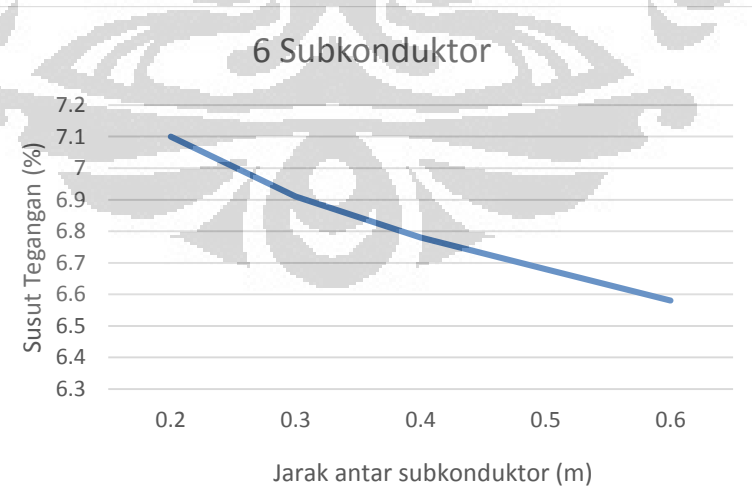
Gambar 5. 7 Grafik SIL akibat pengubahan jarak antar 3 subkonduktor



Gambar 5. 8 Grafik susut tegangan akibat pengubahan jarak antar 3 subkonduktor



Gambar 5. 9 Grafik SIL akibat pengubahan jarak antar 6 subkonduktor



Gambar 5. 10 Grafik susut tegangan akibat pengubahan jarak antar 6 subkonduktor

5.5 Mengubah Jarak Antar Fasa

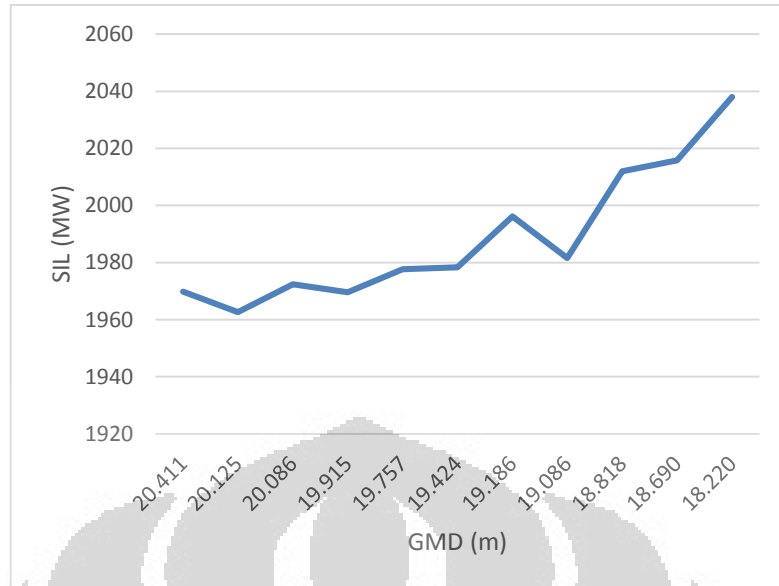
Mengubah jarak antar fasa dilakukan dengan mengubah jarak vertikal dari fasa A, B, C dan dengan mengubah jarak horizontal antara satu *circuit* dengan yang lain. Data simulasi akibat pengubahan jarak antar fasa dapat dilihat pada Tabel 5.4.

Pengubahan jarak antar fasa dapat mengubah nilai parameter saluran transmisi. Dapat dilihat pada Tabel 5.4 nilai reaktansi akan semakin kecil saat jarak antar fasa semakin dekat dan sebaliknya. Sedangkan nilai *susceptance* akan semakin besar saat jarak antar fasa semakin dekat dan sebaliknya. Hal ini disebabkan karena saat mengubah jarak antar fasa akan mengubah nilai GMD dari saluran tersebut. GMD akan semakin kecil saat jarak antar fasa semakin dekat dan sebaliknya.

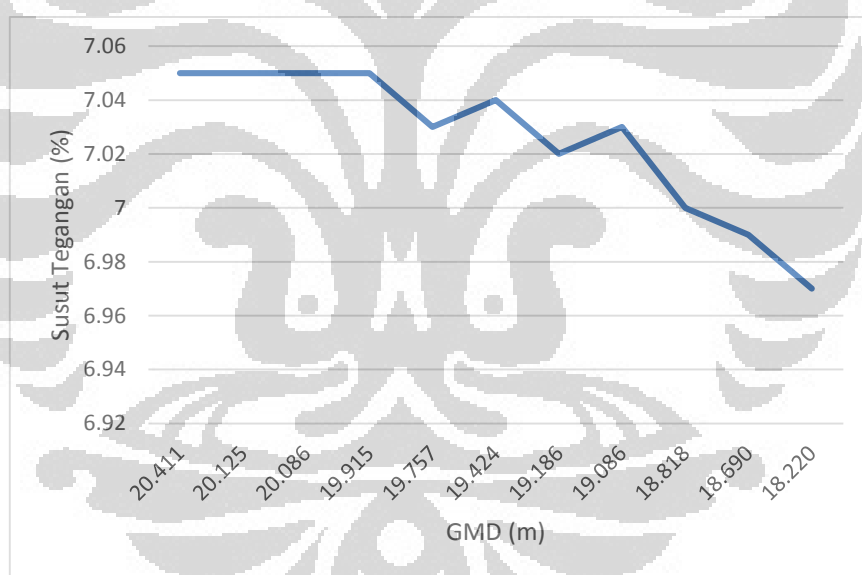
Dengan pengaruh pada karakteristik saluran transmisi tersebut, maka nilai SIL dan tegangan bus DEPOK akan mengalami perubahan. Nilai SIL dan tegangan bus DEPOK akan semakin tinggi saat jarak antar fasa semakin dekat. Namun mendekatkan jarak antar fasa pada praktiknya juga harus mempertimbangkan beberapa hal, karena jarak antar fasa memengaruhi kekuatan isolasi udara antar kawat penghantar.

Tabel 5. 4 Data parameter akibat pengubahan jarak antar fasa

No	DAB (m)	DBC (m)	DAC (m)	D (m)	GMD/ Deq(m)	Selisih GMD (m)	% Selisih GMD	L (mH/ phase/km)	X (ohm/ phase/km)	C (μ F/km ke netral)	Y (μ ho/ km)	Zc (ohm)	SIL (MW)	%V DEPOK	ΔV (%) TASIK- DEPOK
1	9.7	12.2	21.9	29	20.411	0.65	3.31	0.4271	0.134094	0.0265	8.3248	126.917	1969.799	96.12	7.05
2	9.7	13	22.7	27	20.125	0.37	1.86	0.4286	0.134581	0.0264	8.2943	127.381	1962.623	96.11	7.05
3	9.7	12.2	21.9	28	20.086	0.33	1.67	0.4265	0.133917	0.0265	8.3360	126.747	1972.435	96.12	7.05
4	10	12.2	22.2	27	19.915	0.16	0.80	0.4271	0.134111	0.0265	8.3238	126.932	1969.559	96.12	7.05
5	9.7	12.2	21.9	27	19.757	0.00	0.00	0.4248	0.133402	0.0266	8.3480	126.412	1977.657	96.13	7.03
6	9.7	12.2	21.9	26	19.424	-0.33	-1.69	0.4252	0.13352	0.0266	8.3611	126.369	1978.33	96.13	7.04
7	9.7	11	20.7	27	19.186	-0.57	-2.89	0.4214	0.132334	0.0269	8.4372	125.238	1996.197	96.16	7.02
8	9.7	12.2	21.9	25	19.086	-0.67	-3.40	0.4245	0.1333	0.0267	8.3752	126.159	1981.625	96.14	7.03
9	8	12.2	20.2	27	18.818	-0.94	-4.75	0.4182	0.131305	0.0271	8.5044	124.256	2011.97	96.18	7
10	9.7	10	19.7	27	18.690	-1.07	-5.40	0.4174	0.131058	0.0271	8.5206	124.021	2015.784	96.19	6.99
11	7	12.2	19.2	27	18.220	-1.54	-7.78	0.4129	0.129643	0.0274	8.6151	122.672	2037.956	96.22	6.97



Gambar 5. 11 Grafik SIL akibat pengubahan jarak antar fasa



Gambar 5. 12 Grafik susut tegangan akibat pengubahan jarak antar fasa

5.6 Analisis Hasil

Untuk menaikkan nilai SIL dan tegangan bus DEPOK, dapat dilakukan dengan cara memperbesar diameter konduktor ACSR, menjauhkan jarak antar subkonduktor dalam satu kawat berkas, menambah jumlah subkonduktor dalam satu kawat berkas dan mendekatkan jarak antar fasa saluran tersebut. Cara yang paling berdampak adalah dengan menambahkan jumlah subkonduktor dalam satu kawat berkas. Dimana nilai SIL tertinggi dan tegangan tertinggi terjadi saat jumlah subkonduktor diubah menjadi 6 buah dengan jarak antar subkonduktor sejauh 60 cm.

Dengan konfigurasi tersebut, maka nilai GMR dari kawat berkas akan semakin besar. Dari Tabel 4.2 dapat dilihat bahwa rumus GMR untuk kawat berkas dengan jumlah subkonduktor 6 buah memiliki nilai yang paling besar. Sedangkan dengan jarak antar subkonduktor sejauh 60 cm, maka akan memperbesar nilai GMR daripada kawat berkas tersebut dibandingkan dengan jarak antar subkonduktor 40 cm dan 50 cm. Seperti yang telah diketahui bahwa, semakin jauh jarak antar subkonduktor maka semakin besar pula nilai dari GMR konduktor tersebut. Dengan konfigurasi ini, diperoleh nilai GMR sebesar 0.3861 m dan nilai GMD sama seperti saluran dengan konfigurasi awal yaitu 19.75734 m.

Dengan nilai GMR yang semakin besar, maka nilai induktansi dan reaktansi akan semakin kecil dan nilai kapasitansi dan *susceptance* akan semakin besar. Sehingga nilai SIL saluran tersebut semakin besar dan nilai tegangan bus DEPOK akan semakin besar. Dengan konfigurasi ini, nilai SIL menjadi sebesar 2429.4543MW dan % tegangan bus DEPOK sebesar 96.81%.

BAB 6

KESIMPULAN

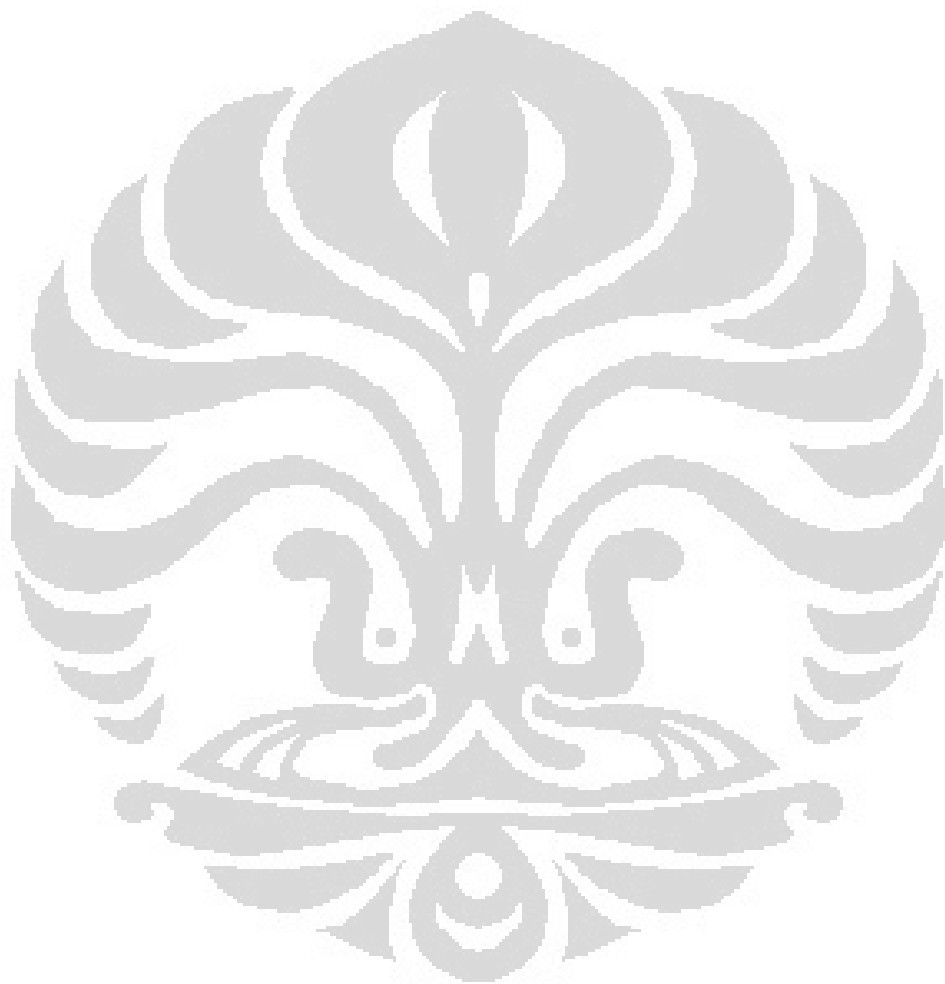
1. Nilai SIL dan tegangan bus DEPOK tertinggi dicapai saat jumlah subkonduktor sebanyak 6 buah dengan jarak 60 cm.
2. Nilai SIL terbesar adalah 2429.4543 MW dan % tegangan bus DEPOK tertinggi adalah 96.81%
3. Nilai SIL dan tegangan bus DEPOK tertinggi untuk masing-masing pengubahan adalah sebagai berikut:

No	Jenis Pengubahan	SIL (MW)	%V DEPOK	$\Delta V (%)$ TASIK-DEPOK
1	Diameter Subkonduktor	1994.0731	96.16	7.02
2	Jarak Antar Subkonduktor	2252.5827	96.55	6.76
3	Jumlah Subkonduktor	2429.4543	96.81	6.58
4	Jarak Antar Fasa	2037.9557	96.22	6.97

DAFTAR REFERENSI

- [1] R.Budianto.2012.[Online]. Tersedia di:
repository.usu.ac.id/bitstream/123456789/30690/4/Chapter%20II.pdf
[Diakses pada 2 Januari 2016]
- [2] Kothari, D.P. Nagrath, I.J. *Modern Power System Analysis 3th*. Tata McGraw-Hill Education, New Dehli. 2011.
- [3] Taihan Electric Wire Co.Ltd. "Overhead Electrical Alumunium Conductors".Seoul: Author
- [4] R. N. Nayak, Y K Sehgal and Subir Sen,"EHV Transmission Line Capacity Enhacement Through Incsrease in Surge Impedance Loading Level", Published in Transmission and Distribution Conference and Expansion, (2003 IEEE)
- [5] Varun Patel, J.G.Jamnani,"Technique to Increase Surge Impedance Loading level of EHV AC Transmission Lines for Improving Power Transfer Capability", Published in International Conference on Computation Power,Energy,Information and Communication (2015 IEEE)
- [6] M. T. Wikara, Studi Analisis Perecepatan Tahap I 10.000 MW, Depok: Universitas Indonesia, 2008.
- [7] P.T.PLN (Persero) P3B Jawa Bali."Topologi Konfigurasi Jaringan P3B Jawa Bali 2015".Jakarta.2015.
- [8] Rafik, Houssem. (2009). *Transmission and Distribution System*. Mekkah: Umm Al-Qura University.
- [9] D. Marsudi, Operasi Sistem Tenaga Listrik, Yogyakarta: Graha Ilmu, 2006.
- [10] P. P. (Persero), Buku Statistik PLN 2008-2014, Jakarta: PT. PLN (Persero), 2014.
- [11] W. S. Sawai, Studi Aliran Daya Sistem Jawa Bali 500 kV Tahun 2007-2011, Depok: Universitas Indonesia, 2008.
- [12] Midal Cable. *Conductor Datasheet Aluminium Conductor Steel Reinforced (ACSR)*. Bahrain: Author.

- [13] Sural. *Product Catalog Aluminium Conductor Steel Reinforced (ACSR)*. Venezuela: Author.
- [14] General Cable. *ACSR Bare Overhead Conductor*. Kentucky: Author
- [15] Susilo, Untung. Analisis Pengaruh Konfigurasi Konduktor Berkas Terhadap Efisiensi, Regulasi Tegangan dan Korona pada Saluran Transmisi Udara. Semarang: Universitas Diponegoro. 2009.

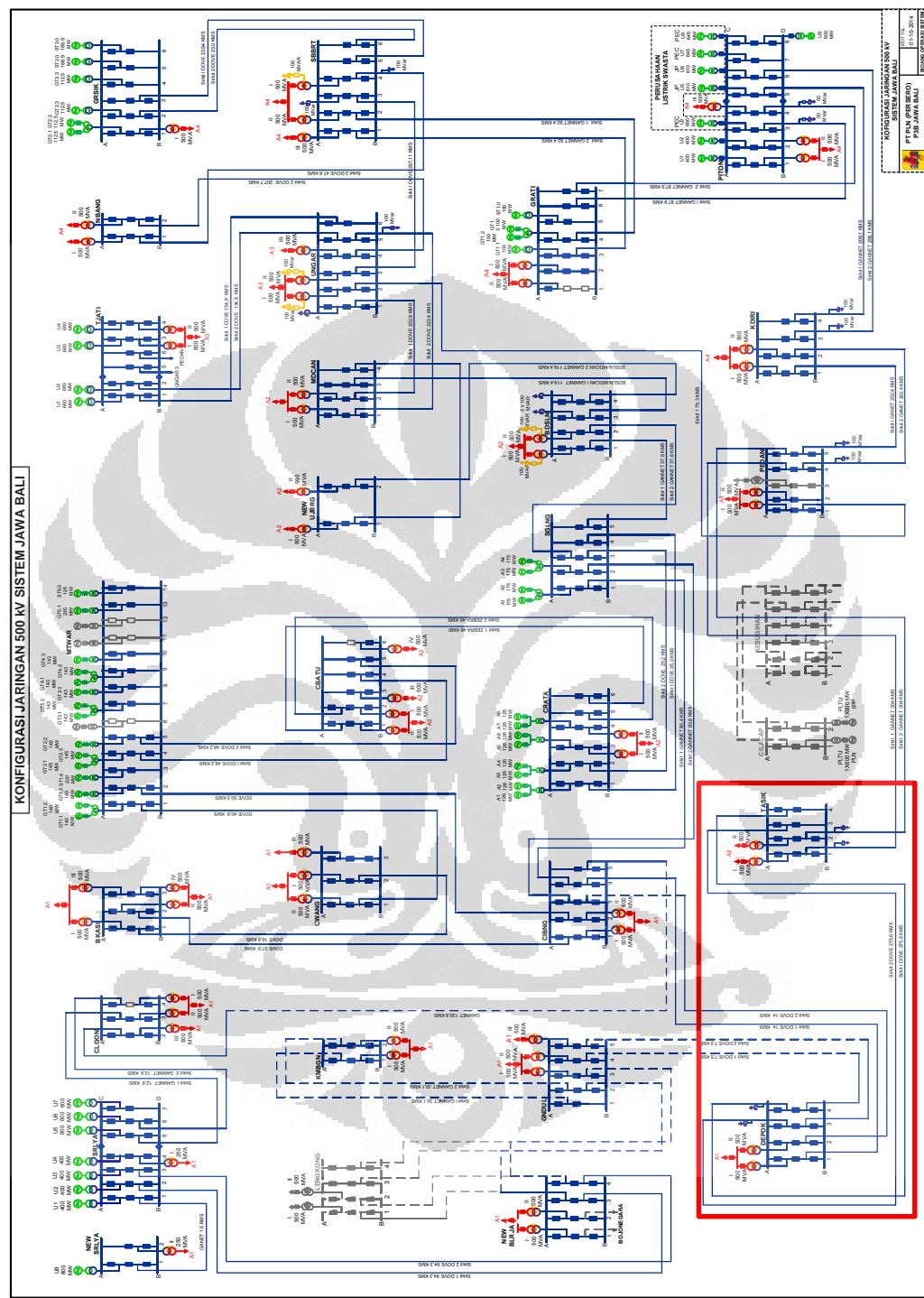


DAFTAR PUSTAKA

- Marsudi, Djiteng. *Operasi Sistem Tenaga Listrik*. Penerbit Graha Ilmu, Yogyakarta. 2006.
- Kothari, D.P. Nagrath, I.J. *Modern Power System Analysis 4th*. Tata McGraw-Hill Education, New Dehli. 2011.
- Rencana Usaha Penyediaan Tenaga Listrik (RUPTL) 2015-2024*. PT PLN (Persero), Jakarta. 2014.
- Ruang Bebas dan Jarak Bebas Minimum pada Saluran Udara Tegangan Tinggi (SUTT) dan Saluran Udara Tegangan Ekstra Tinggi (SUTET)*. Badan Standarisasi Nasional, Jakarta. 2002
- Chapman J., Stephen. (2005). *Electric Machinery and Power System Fundamentals*. New York: Mc Graw hill

LAMPIRAN

1. Diagram satu garis jaringan 500 kV Jawa-Bali



2. Rating Saluran Transmisi 500 kV Jawa-Bali

Name	In Folder	Grid	Type	TypLine, TypTow, TypGeo	Substation	Terminal j	Length	Irated	Z1	R1	X1	R0	X0	k0
BDSLNUBRUNG 2	500kV	500kV	OHL-500kV-ACSR-DOVE 4X327.9mm (1980A)	UJUNG BERUNDUNG SELATAN	32.89	1.98	9.308553	0.963688	9.255035	5.89718	27.7756	0.6862		
BKASI-CIBNG	500kV	500kV	OHL-500kV-ACSR-DOVE 4X327.9mm (1980A)	BEKASIT	GIBINONG7	37.9	1.98	10.72649	1.11047	10.66885	6.79547	32.0066	0.6862	
BKASI-CWANG	500kV	500kV	OHL-500kV-ACSR-DOVE 4X327.9mm (1980A)	CAWANG7	BEKASIT	16.84	1.98	4.766069	0.49341	4.74046	3.01941	14.2214	0.6862	
CBATU-CRATA	500kV	500kV	OHL-500kV-ACSR-DOVE 4X327.9mm (1980A)	CIBATU7	CIRATA7	46.757	1.98	13.2332	1.36998	13.1621	8.38353	39.4863	0.6862	
CBATU-CRATA 1	500kV	500kV	OHL-500kV-ACSR-DOVE 4X327.9mm (1980A)	CIBATU7	CIRATA7	46.757	1.98	13.2332	1.36998	13.1621	8.38353	39.4863	0.6862	
CBATU-MTWAR	500kV	500kV	OHL-500kV-ACSR-DOVE 4X327.9mm (1980A)	VARATAWAI	CIBATU7	48.158	1.98	13.62971	1.41103	13.55648	8.63473	40.6694	0.6862	
CBATU-MTWAR1	500kV	500kV	OHL-500kV-ACSR-DOVE 4X327.9mm (1980A)	CIBATU7	VARATAWAI	48.158	1.98	13.62971	1.41103	13.55648	8.63473	40.6694	0.6862	
CIBNG-SGLNG-1	500kV	500kV	OHL-500kV-ACSR-GANNET 4X392.8mm (2400A)	SAGULING7	CIBINONG7	81.9	2.4	23.08922	2.05569	22.99752	14.3407	68.9926	0.6873	
CIBNG-SGLNG-2	500kV	500kV	OHL-500kV-ACSR-GANNET 4X392.8mm (2400A)	CIBINONG7	SAGULING7	81.9	2.4	23.08922	2.05569	22.99752	14.3407	68.9926	0.6873	
CLBRU-CIBNG	500kV	500kV	OHL-500kV-ACSR-GANNET 4X392.8mm (2400A)	ILEGON BARU	CIBINONG7	1.30.81	2.4	36.8779	3.28333	36.73145	22.9048	110.194	0.6873	
DEPOK-CIBNG1	500kV	500kV	OHL-500kV-ACSR-DOVE 4X327.9mm (1980A)	GIBINONG7	DEPOK7	15.57	1.98	4.406633	0.4562	4.382955	2.7917	13.1489	0.6862	
DEPOK-CIBNG2	500kV	500kV	OHL-500kV-ACSR-DOVE 4X327.9mm (1980A)	GIBINONG7	DEPOK7	15.57	1.98	4.406633	0.4562	4.382955	2.7917	13.1489	0.6862	
DEPOK-GNDUL-1	500kV	500kV	OHL-500kV-ACSR-DOVE 4X327.9mm (1980A)	GANDUL7	DEPOK7	5.223	1.98	1.676332	0.17354	1.667325	1.06199	5.00197	0.6862	
DEPOK-GNDUL-2	500kV	500kV	OHL-500kV-ACSR-DOVE 4X327.9mm (1980A)	GANDUL7	DEPOK7	5.223	1.98	1.676332	0.17354	1.667325	1.06199	5.00197	0.6862	
DEPOT-TSKBR 1	TSKBR- DEPOK 1	500kV	OHL-500kV-ACSR-GANNET 4X392.8mm (2400A)	KIMALAYA BARU7	KIMALAYA BARU7	279.5	2.4	78.79652	7.01545	78.4836	48.9405	235.451	0.6873	
DEPOT-TSKBR 2	TSKBR- DEPOK 2	500kV	OHL-500kV-ACSR-GANNET 4X392.8mm (2400A)	KIMALAYA BARU7	KIMALAYA BARU7	279.5	2.4	78.79652	7.01545	78.4836	48.9405	235.451	0.6873	
GNDUL-BRAJA1	500kV	500kV	OHL-500kV-ACSR-DOVE 4X327.9mm (1980A)	W BALARAJA7	GANDUL7	50.84	1.98	14.38877	1.48961	14.31146	9.11561	42.9344	0.6862	
GNDUL-BRAJA1	region1	region1	OHL-500kV-ACSR-DOVE 4X327.9mm (1980A)	W BALARAJA7	GANDUL7	45	1.98	12.73593	1.31185	12.6675	8.0685	38.0025	0.6862	
GNDUL-BRAJA2	500kV	500kV	OHL-500kV-ACSR-DOVE 4X327.9mm (1980A)	W BALARAJA7	GANDUL7	50.84	1.98	14.38877	1.48961	14.31146	9.11561	42.9344	0.6862	
GNDUL-KMBGN-1	500kV	500kV	OHL-500kV-ACSR-GANNET 4X392.8mm (2400A)	KEMBANGAN7	GANDUL7	3.0.143	2.4	8.497902	0.75659	8.464155	5.27804	25.3925	0.6873	
GNDUL-KMBGN-2	500kV	500kV	OHL-500kV-ACSR-GANNET 4X392.8mm (2400A)	KEMBANGAN7	GANDUL7	3.0.143	2.4	8.497902	0.75659	8.464155	5.27804	25.3925	0.6873	
GRBRU-SBBRT 1	500kV	500kV	OHL-500kV-ACSR-DOVE 4X327.9mm (1980A)	IRESIK BARURABAYA BARA	23.9	1.98	6.764496	0.70027	6.72785	4.28527	20.1836	0.6862		
GRBRU-SBBRT 2	500kV	500kV	OHL-500kV-ACSR-DOVE 4X327.9mm (1980A)	IRESIK BARURABAYA BARA	23.9	1.98	6.764496	0.70027	6.72785	4.28527	20.1836	0.6862		
Line Route	BNRAN-PEDAN1	500kV	OHL-500kV-ACSR-GANNET 4X392.8mm (2400A)	PEDAN7	PEDAN7	0.5	2.4	0.14096	0.01255	0.1404	0.08755	0.4212	0.6873	
Line Route	BNRAN-PEDAN2	500kV	OHL-500kV-ACSR-GANNET 4X392.8mm (2400A)	PEDAN7	PEDAN7	0.5	2.4	0.14096	0.01255	0.1404	0.08755	0.4212	0.6873	
Line Route	PITON-GRATI 1	500kV	OHL-500kV-ACSR-GANNET 4X392.8mm (2400A)	PAITON7	PAITON7	0.5	2.4	0.14096	0.01255	0.1404	0.08755	0.4212	0.6873	
Line Route1	PITON-GRATI 2	500kV	OHL-500kV-ACSR-GANNET 4X392.8mm (2400A)	PAITON7	PAITON7	0.5	2.4	0.14096	0.01255	0.1404	0.08755	0.4212	0.6873	
Line Route	PITON-KDIRI 1	500kV	OHL-500kV-ACSR-GANNET 4X392.8mm (2400A)	TASIKMALAYA BA	TASIKMALAYA BA	0.5	2.4	0.14096	0.01255	0.1404	0.08755	0.4212	0.6873	
Line Route	PITON-KDIRI 2	500kV	OHL-500kV-ACSR-GANNET 4X392.8mm (2400A)	TASIKMALAYA BA	TASIKMALAYA BA	0.5	2.4	0.14096	0.01255	0.1404	0.08755	0.4212	0.6873	
Line Route1	MDRRN-UNGRN	500kV	OHL-500kV-ACSR-DOVE 4X327.9mm (1980A)	UNGARAN7	UNGARAN7	0.5	1.98	0.14151	0.01465	0.14075	0.08965	0.42225	0.6862	
Line Route1	PEDAN-TSKBR 1	500kV	OHL-500kV-ACSR-GANNET 4X392.8mm (2400A)	TASIKMALAYA BA	TASIKMALAYA BA	0.5	2.4	0.14096	0.01255	0.1404	0.08755	0.4212	0.6873	
Line Route1	PEDAN-TSKBR 2	500kV	OHL-500kV-ACSR-GANNET 4X392.8mm (2400A)	TASIKMALAYA BA	TASIKMALAYA BA	0.5	2.4	0.14096	0.01255	0.1404	0.08755	0.4212	0.6873	
Line Route1	PITON-GRATI 1	500kV	OHL-500kV-ACSR-GANNET 4X392.8mm (2400A)	GRATI7	GRATI7	8.7863	2.4	24.7703	2.20536	24.67193	15.3848	74.0158	0.6873	
Line Route1	PITON-GRATI 2	500kV	OHL-500kV-ACSR-GANNET 4X392.8mm (2400A)	GRATI7	GRATI7	8.7863	2.4	24.7703	2.20536	24.67193	15.3848	74.0158	0.6873	

Name	In Folder	Grid	Type	TypLine,TypTow,TypGeo	Terminal i	Terminal j	Length	Rated	Z1	R1	X1	R0	X0	k0
					Substation	Substation	km	ka	Ohm	Ohm	Ohm	Ohm	Ohm	Ohm
Line Route(1)	PITON-KDIRI 1	500kV	OHL-500kV-ACSR-GANNET 4x392.8mm (2400A)		KEDIRI7	0.5	2.4	0.14046	0.08755	0.4212	0.6873			
Line Route(1)	PITON-KDIRI 2	500kV	OHL-500kV-ACSR-GANNET 4x392.8mm (2400A)		KEDIRI7	0.5	2.4	0.14046	0.08755	0.4212	0.6873			
Line Route(1)	TSKBR-DEPOK 1	500kV	OHL-500kV-ACSR-GANNET 4x392.8mm (2400A)		DEPOK7	0.5	2.4	0.14046	0.08755	0.4212	0.6873			
Line Route(1)	TSKBR-DEPOK 2	500kV	OHL-500kV-ACSR-GANNET 4x392.8mm (2400A)		DEPOK7	0.5	2.4	0.14046	0.08755	0.4212	0.6873			
Line SBBRT-REAC	500kV	500kV	OHL-500kV-ACSR-DOVE 4x327.9mm (1980A)	KABAYA BARAT7		0.005	1.98	0.001415	0.00015	0.004422	0.6862			
MIDRCN-BDSL N1	500kV	500kV	OHL-500kV-ACSR-DOVE 4x327.9mm (1980A)	ANDIRANCAN DUNDUNG SELAT7		119.3	1.98	33.76438	34.95459	33.58295	21.3905	100.749	0.6862	
MIDRCN-UBRUNG 2	500kV	500kV	OHL-500kV-ACSR-DOVE 4x327.9mm (1980A)	ANDIRANCAN UJUNG BERU		86.43	1.98	24.46148	2.5324	24.33005	15.4969	72.901	0.6862	
MIDRCN-UNGRN 1	500kV	500kV	OHL-500kV-ACSR-DOVE 4x327.9mm (1980A)	UNGARAN7 ANDIRANCAN7		230	1.98	65.09477	6.739	64.745	41.239	194.235	0.6862	
MIDRCN-UNGRN 2	MIDRCN-UNGRN	500kV	OHL-500kV-ACSR-DOVE 4x327.9mm (1980A)	ANDIRANCAN7		229.5	1.98	64.95326	6.72435	64.60426	41.1494	193.913	0.6862	
MTWAR-CBNGN	500kV	500kV	OHL-500kV-ACSR-DOVE 4x327.9mm (1980A)	CIBINONG7	UARA TAWAR	53	1.98	15.0001	1.5529	14.9195	9.5029	44.7585	0.6862	
MTWAR-CWANG	500kV	500kV	OHL-500kV-ACSR-DOVE 4x327.9mm (1980A)	CAWANG7	UARA TAWAR	48	1.98	13.585	1.4064	13.512	8.6064	40.536	0.6862	
NBANG-SBRT	500kV	500kV	OHL-500kV-ACSR-DOVE 4x327.9mm (1980A)	NGIMBANG7		50.981	1.98	14.42868	1.49374	14.35115	9.14089	43.0535	0.6862	
PEDAN-KDIRI 1	BNTRAN-PEDAN 2	500kV	OHL-500kV-ACSR-GANNET 4x392.8mm (2400A)	KEDIRI7		204.5	2.4	57.65256	5.13295	57.4236	35.808	172.271	0.6873	
PEDAN-KDIRI 2	BNTRAN-PEDAN 1	500kV	OHL-500kV-ACSR-GANNET 4x392.8mm (2400A)	KEDIRI7		204.5	2.4	57.65256	5.13295	57.4236	35.808	172.271	0.6873	
PEDAN-KSGHN	PEDAN-TSKBR 2	500kV	OHL-500kV-ACSR-GANNET 4x392.8mm (2400A)	PEDAN7	KESUGIHAN7	196	2.4	55.25624	4.9196	55.0368	34.3196	165.11	0.6873	
PEDAN-TSKBR 1	PEDAN-TSKBR 1	500kV	OHL-500kV-ACSR-GANNET 4x392.8mm (2400A)	PEDAN7		304.5	2.4	85.84452	7.64295	85.5036	53.318	256.511	0.6873	
PEDAN-KDIRI 1	BNTRAN-PEDAN 2	500kV	OHL-500kV-ACSR-GANNET 4x392.8mm (2400A)	KEDIRI7		204.5	2.4	57.65256	5.13295	57.4236	35.808	172.271	0.6873	
PEDAN-KDIRI 2	BNTRAN-PEDAN 1	500kV	OHL-500kV-ACSR-GANNET 4x392.8mm (2400A)	KEDIRI7		204.5	2.4	57.65256	5.13295	57.4236	35.808	172.271	0.6873	
PEDAN-KSGHN	PEDAN-TSKBR 2	500kV	OHL-500kV-ACSR-GANNET 4x392.8mm (2400A)	PEDAN7	KESUGIHAN7	196	2.4	55.25624	4.9196	55.0368	34.3196	165.11	0.6873	
PEDAN-TSKBR 1	PEDAN-TSKBR 1	500kV	OHL-500kV-ACSR-GANNET 4x392.8mm (2400A)	PEDAN7		304.5	2.4	85.84452	7.64295	85.5036	53.318	256.511	0.6873	
SBBRT-UNGRN 1	500kV	OHL-500kV-ACSR-DOVE 4x327.9mm (1980A)	UNGARAN7	RABAYA BARA		254.2	1.98	71.94383	7.44806	71.5573	45.5781	214.572	0.6862	
SBBRT-GRATI 1	500kV	OHL-500kV-ACSR-GANNET 4x392.8mm (2400A)	KABAYA BARA	GRATI7		79.41	2.4	22.38724	1.99319	22.29833	13.90407	66.895	0.6873	
SBBRT-GRATI 2	500kV	OHL-500kV-ACSR-GANNET 4x392.8mm (2400A)	GRATI7	RABAYA BARA		79.41	2.4	22.38724	1.99319	22.29833	13.90407	66.895	0.6873	
SGLNG-BDSL N1	500kV	OHL-500kV-ACSR-GANNET 4x392.8mm (2400A)	SAGULING7	DUNDUNG SELAT7		39	2.4	10.99486	0.9789	10.9512	6.8289	32.8536	0.6873	
SGLNG-BDSL N2	500kV	OHL-500kV-ACSR-GANNET 4x392.8mm (2400A)	SAGULING7			39	2.4	10.99486	0.9789	10.9512	6.8289	32.8536	0.6873	
SGLNG-CRAT A1	500kV	OHL-500kV-ACSR-DOVE 4x327.9mm (1980A)	CIRATA7	SAGULING7		25.166	1.98	7.1225	0.73736	7.084229	4.51226	21.2527	0.6862	
SGLNG-CRAT A2	500kV	OHL-500kV-ACSR-DOVE 4x327.9mm (1980A)	SAGULING7	CIRATA7		25.166	1.98	7.1225	0.73736	7.084229	4.51226	21.2527	0.6862	
SILAYA-CLBRU-1	500kV	OHL-500kV-ACSR-GANNET 4x392.8mm (2400A)	ILEGON BARU	SURALAYA7		12.48	2.4	3.518356	0.1325	3.504384	2.18525	10.5132	0.6873	
SILAYA-CLBRU-2	500kV	OHL-500kV-ACSR-GANNET 4x392.8mm (2400A)	ILEGON BARU	SURALAYA7		12.48	2.4	3.518356	0.1325	3.504384	2.18525	10.5132	0.6873	
SRLAYA-SERLU	region2	500kV	OHL-500kV-ACSR-DOVE 4x327.9mm (1980A)	SURALAYA7	JALAYA BAR	1.25	1.98	0.353776	0.03663	0.351875	0.22443	1.0553	0.6862	
SRLAYA-BRAJA 1	500kV	OHL-500kV-ACSR-DOVE 4x327.9mm (1980A)	SURALAYA7	W BALARAJA7		62.759	1.98	17.7621	1.83884	17.66666	11.2527	53	0.6862	
SRLAYA-BRAJA 2	500kV	OHL-500kV-ACSR-DOVE 4x327.9mm (1980A)	SURALAYA7	W BALARAJA7		62.759	1.98	17.7621	1.83884	17.66666	11.2527	53	0.6862	
SRLAYA-BRAJA 1	region1	OHL-500kV-ACSR-DOVE 4x327.9mm (1980A)		NEW BALARAJA		68.6	1.98	19.41522	2.00998	19.3109	12.3	57.9327	0.6862	
UNGAR-PEDAN 2	500kV	OHL-500kV-ACSR-DOVE 4x327.9mm (1980A)	PEDAN7	UNGARAN7		77.1	1.98	21.8209	2.25903	21.70365	13.824	65.111	0.6862	
UNGRN-NBANG	500kV	OHL-500kV-ACSR-DOVE 4x327.9mm (1980A)	UNGIMBANG7	UNGARAN7		200.338	1.98	56.69981	5.8699	56.39515	35.9206	169.185	0.6862	
UNGRN-TJATI 1P	500kV	OHL-500kV-ACSR-GANNET 4x392.8mm (2400A)	UNGARAN7	ANJUNG JATI B		134.8	2.4	38.00276	3.38348	37.85184	23.6035	113.556	0.6873	
UNGRN-TJATI 2P	500kV	OHL-500kV-ACSR-GANNET 4x392.8mm (2400A)	UNGARAN7	ANJUNG JATI E		134.8	2.4	38.00276	3.38348	37.85184	23.6035	113.556	0.6873	

3. Daftar pengubahan konfigurasi saluran

Keterangan	No	No.	r (cm)	r (cm)	Or/cm	r' (m)	Subconductor	Spacing	GMR (m)	GMRC (m)	DAB (m)	DBC (m)	DAG (m)	Untuk Induktansi						
														D(m)	D(m)	D(m)	D(m)			
Kedua Al	1	7	0.1581	26	0.3835	1.2877	0.0103	4	0.4	0.1735	0.1847	9.7	21.9	21.2	21.9	21.9	21.9	21.9	21.9	
Utah Stelan Al	2	7	0.12	26	0.15	1	0.0077	3	0.4	0.1629	0.1734	9.7	21.9	21.2	21.9	21.9	21.9	21.9	21.9	
Utah Stelan Al	3	7	0.13	26	0.17	1.07	0.0082	3	0.4	0.1655	0.1765	9.7	21.9	21.2	21.9	21.9	21.9	21.9	21.9	
Ubah Stel	4	7	0.1499	26	0.3858	1.0818	0.0103	4	0.4	0.1697	0.1806	9.7	21.9	21.2	21.9	21.9	21.9	21.9	21.9	
Ubah Al	5	7	0.1499	26	0.2	1.2397	0.0062	4	0.4	0.1717	0.1838	9.7	21.9	21.2	21.9	21.9	21.9	21.9	21.9	
Utah Stelan Al	6	7	0.17	26	0.25	1.51	0.0116	4	0.4	0.1805	0.1922	9.7	21.9	21.2	21.9	21.9	21.9	21.9	21.9	
7	7	0.1581	26	0.3835	1.2877	0.0103	4	0.2	0.1682	0.1698	9.7	21.9	21.2	21.9	21.9	21.9	21.9	21.9	21.9	
8	7	0.1581	26	0.3835	1.2877	0.0103	4	0.3	0.1588	0.1488	9.7	21.9	21.2	21.9	21.9	21.9	21.9	21.9	21.9	
Ubah Spacing untuk buah subkonduktor	9	7	0.1581	26	0.3835	1.2877	0.0103	4	0.5	0.2051	0.2183	9.7	21.9	21.2	21.9	21.9	21.9	21.9	21.9	21.9
Variasi 1 buah subkonduktor dengan 2 buah subkonduktor	10	7	0.1581	26	0.3835	1.2877	0.0103	4	0.6	0.2552	0.2598	9.7	21.9	21.2	21.9	21.9	21.9	21.9	21.9	21.9
11	7	0.1581	26	0.3835	1.2877	0.0103	4	0.7	0.2640	0.2810	9.7	21.9	21.2	21.9	21.9	21.9	21.9	21.9	21.9	
12	7	0.1581	26	0.3835	1.2877	0.0103	4	0.8	0.2638	0.3106	9.7	21.9	21.2	21.9	21.9	21.9	21.9	21.9	21.9	
13	7	0.1581	26	0.3835	1.2877	0.0103	2	0.2	0.046785	0.0597494	9.7	21.9	21.2	21.9	21.9	21.9	21.9	21.9	21.9	
14	7	0.1581	26	0.3835	1.2877	0.0103	2	0.3	0.05851	0.0621538	9.7	21.9	21.2	21.9	21.9	21.9	21.9	21.9	21.9	
15	7	0.1581	26	0.3835	1.2877	0.0103	2	0.4	0.06336	0.0717691	9.7	21.9	21.2	21.9	21.9	21.9	21.9	21.9	21.9	
16	7	0.1581	26	0.3835	1.2877	0.0103	2	0.5	0.070812	0.0802403	9.7	21.9	21.2	21.9	21.9	21.9	21.9	21.9	21.9	
17	7	0.1581	26	0.3835	1.2877	0.0103	2	0.6	0.0775	0.079898	9.7	21.9	21.2	21.9	21.9	21.9	21.9	21.9	21.9	
Variasi 1 buah subkonduktor dengan 3 buah subkonduktor	18	7	0.1581	26	0.3835	1.2877	0.0103	3	0.2	0.07251	0.081601	9.7	21.9	21.2	21.9	21.9	21.9	21.9	21.9	21.9
Variasi 1 buah subkonduktor dengan 6 buah subkonduktor	19	7	0.1581	26	0.3835	1.2877	0.0103	3	0.3	0.086641	0.1050394	9.7	21.9	21.2	21.9	21.9	21.9	21.9	21.9	21.9
20	7	0.1581	26	0.3835	1.2877	0.0103	3	0.4	0.110702	0.1274562	9.7	21.9	21.2	21.9	21.9	21.9	21.9	21.9	21.9	
21	7	0.1581	26	0.3835	1.2877	0.0103	3	0.5	0.13368	0.1475656	9.7	21.9	21.2	21.9	21.9	21.9	21.9	21.9	21.9	
22	7	0.1581	26	0.3835	1.2877	0.0103	3	0.6	0.155408	0.1667397	9.7	21.9	21.2	21.9	21.9	21.9	21.9	21.9	21.9	
23	7	0.1581	26	0.3835	1.2877	0.0103	6	0.2	0.154558	0.1611336	9.7	21.9	21.2	21.9	21.9	21.9	21.9	21.9	21.9	
24	7	0.1581	26	0.3835	1.2877	0.0103	6	0.3	0.216687	0.2259055	9.7	21.9	21.2	21.9	21.9	21.9	21.9	21.9	21.9	
25	7	0.1581	26	0.3835	1.2877	0.0103	6	0.4	0.27359	0.2871024	9.7	21.9	21.2	21.9	21.9	21.9	21.9	21.9	21.9	
26	7	0.1581	26	0.3835	1.2877	0.0103	6	0.5	0.336162	0.3451823	9.7	21.9	21.2	21.9	21.9	21.9	21.9	21.9	21.9	
27	7	0.1581	26	0.3835	1.2877	0.0103	6	0.6	0.386693	0.402596	9.7	21.9	21.2	21.9	21.9	21.9	21.9	21.9	21.9	
28	7	0.1581	26	0.3835	1.2877	0.0103	4	0.4	0.17493	0.1847	9.7	21.9	21.2	21.9	21.9	21.9	21.9	21.9	21.9	
29	7	0.1581	26	0.3835	1.2877	0.0103	4	0.4	0.17493	0.1847	9.7	21.9	21.2	21.9	21.9	21.9	21.9	21.9	21.9	
30	7	0.1581	26	0.3835	1.2877	0.0103	4	0.4	0.17493	0.1847	9.7	21.9	21.2	21.9	21.9	21.9	21.9	21.9	21.9	
31	7	0.1581	26	0.3835	1.2877	0.0103	4	0.4	0.17493	0.1847	9.7	21.9	21.2	21.9	21.9	21.9	21.9	21.9	21.9	
32	7	0.1581	26	0.3835	1.2877	0.0103	4	0.4	0.17493	0.1847	9.7	21.9	21.2	21.9	21.9	21.9	21.9	21.9	21.9	
33	7	0.1581	26	0.3835	1.2877	0.0103	4	0.4	0.17493	0.1847	9.7	21.9	21.2	21.9	21.9	21.9	21.9	21.9	21.9	
34	7	0.1581	26	0.3835	1.2877	0.0103	4	0.4	0.17493	0.1847	9.7	21.9	21.2	21.9	21.9	21.9	21.9	21.9	21.9	
35	7	0.1581	26	0.3835	1.2877	0.0103	4	0.4	0.17493	0.1847	9.7	21.9	21.2	21.9	21.9	21.9	21.9	21.9	21.9	
36	7	0.1581	26	0.3835	1.2877	0.0103	4	0.4	0.17493	0.1847	9.7	21.9	21.2	21.9	21.9	21.9	21.9	21.9	21.9	
37	7	0.1581	26	0.3835	1.2877	0.0103	4	0.4	0.17493	0.1847	9.7	21.9	21.2	21.9	21.9	21.9	21.9	21.9	21.9	

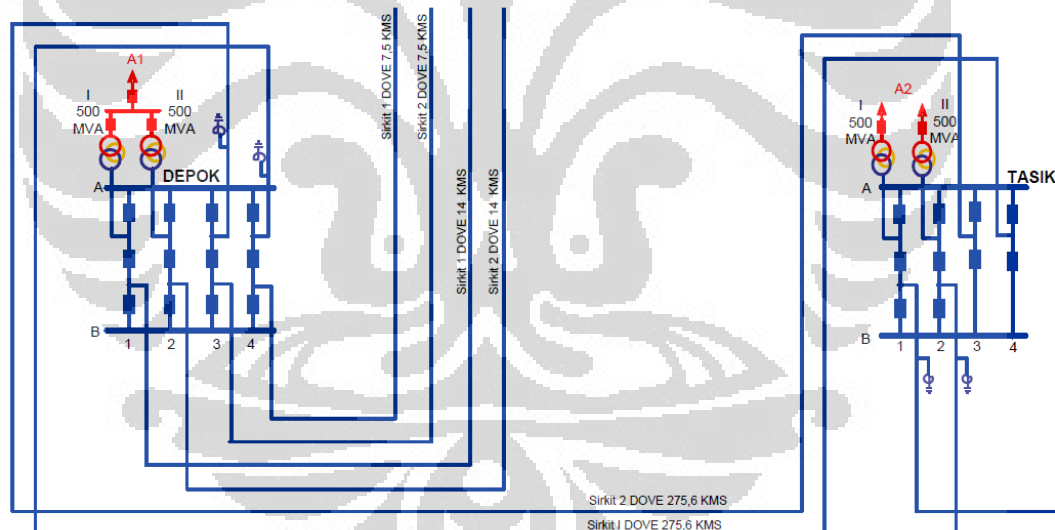
4. Daftar nilai karakteristik saluran akibat pengubahan konfigurasi

Keterangan	No	L (mH/	X (ohm/ph)	C (μ F/	Y (μ mho/k)	Zc (ohm)	SIL (MW)
Keadaan Awal	1	0.43	0.133726	0.03	8.34812	126.5648	1975.273
Ubah r St dan Al	2	0.43	0.135713	0.03	8.224097	128.4594	1946.14
Ubah r St dan Al	3	0.43	0.135181	0.03	8.25692	127.9525	1953.851
Ubah r St	4	0.43	0.134424	0.03	8.304094	127.2309	1964.932
Ubah r Al	5	0.43	0.134054	0.03	8.327355	126.8781	1970.396
Ubah r St dan Al	6	0.42	0.132474	0.03	8.428169	125.3715	1994.073
Ubah Spacing untuk 4 buah subkonduktor	7	0.48	0.150066	0.02	7.427034	142.1458	1758.758
	8	0.45	0.140508	0.03	7.939459	133.0315	1879.254
	9	0.41	0.128465	0.03	8.695278	121.5488	2056.787
	10	0.4	0.124167	0.03	9.001113	117.4505	2128.557
	11	0.38	0.120533	0.03	9.276993	113.9853	2193.264
	12	0.37	0.117385	0.03	9.530013	110.9837	2252.583
	13	0.56	0.176294	0.02	6.381566	166.2092	1504.129
Variasi jarak subkonduktor dengan 2 buah subkonduktor	14	0.54	0.169921	0.02	6.626555	160.1327	1561.205
	15	0.53	0.1654	0.02	6.812105	155.8214	1604.401
	16	0.52	0.161893	0.02	6.963344	152.4773	1639.589
	17	0.51	0.159028	0.02	7.091992	149.7449	1669.506
	18	0.51	0.160615	0.02	6.961959	151.8892	1645.937
	19	0.48	0.152118	0.02	7.357637	143.7875	1738.677
	20	0.47	0.14609	0.02	7.666797	138.0393	1811.079
Variasi jarak subkonduktor dengan 3 buah subkonduktor	21	0.45	0.141414	0.03	7.925094	133.5806	1871.53
	22	0.44	0.137593	0.03	8.149424	129.9375	1924.001
	23	0.44	0.137358	0.03	8.08503	130.3427	1918.021
	24	0.4	0.126737	0.03	8.769643	120.2158	2079.593
	25	0.38	0.119202	0.03	9.330192	113.0307	2211.789
	26	0.36	0.113357	0.03	9.81691	107.4574	2326.503
	27	0.35	0.108581	0.03	10.25396	102.9038	2429.454
Ubah Jarak Antar Fasa	28	0.43	0.134094	0.03	8.324814	126.9165	1969.799
	29	0.43	0.134581	0.03	8.294266	127.3805	1962.623
	30	0.43	0.133917	0.03	8.336039	126.7469	1972.435
	31	0.43	0.134111	0.03	8.323791	126.932	1969.559
	32	0.43	0.13352	0.03	8.361134	126.3692	1978.33
	33	0.42	0.132334	0.03	8.437213	125.2381	1996.197
	34	0.42	0.1333	0.03	8.375166	126.1591	1981.625
	35	0.42	0.131305	0.03	8.504383	124.2563	2011.97
	36	0.42	0.131058	0.03	8.520625	124.0212	2015.784
	37	0.41	0.129643	0.03	8.615059	122.672	2037.956

5. Topologi saluran transmisi TASIK-DEPOK



6. Tampilan saluran transmisi TASIK-DEPOK pada SLD Jawa-Bali 500kV



7. Data aliran daya akibat pengubahan konfigurasi saluran TASIK-DEPOK

Keterangan	No	Bus DEPOK			Bus TASIK		Bus CIBNG		$\Delta V (%)$ TASIK- DEPOK	
		%V	MW/MVAr IBT Depok 1	MW/MVAr IBT Depok 2	MW/MVAr ke GNDUL	%V	MW/MVAr ke DEPOK	%V		
Keadaan Awal	1	96.13	223.2/46.5	257.5/60.4	154/681.7	103.17	411.4/152	96.23	227.7/79	7.04
Ubah r St dan Al	2	96.08	223.2/46.5	257.5/60.4	153.6/678	103.16	410.1/152.5	96.19	228.7/84	7.08
Ubah r St dan Al	3	96.09	223.2/46.5	257.5/60.4	153.7/679	103.16	410.4/152.4	96.2	228.5/82.7	7.07
Ubah r St	4	96.11	223.2/46.5	257.5/60.4	153.9/680.4	103.16	410.9/152.2	96.21	228.2/80.8	7.05
Ubah r Al	5	96.12	223.2/46.5	257.5/60.4	154/681	103.17	411.2/152.1	96.22	228/79.9	7.05
Ubah r St dan Al	6	96.16	223.3/46.5	257.6/60.4	154.3/684	103.18	412.3/151.6	96.25	227.4/75.8	7.02
Ubah Spacing untuk 4 buah subkonduktor	7	95.79	223/46.5	257.2/60.5	151.2/654.7	103.1	400.6/155.4	95.92	234.9/116	7.31
	8	95.98	223.1/46.5	257.4/60.5	152.8/669.8	103.13	406.9/153.6	96.09	230.8/95.4	7.15
	9	96.25	223.4/46.5	257.7/60.4	155.1/691.7	103.2	415/150.4	96.34	225.7/65.2	6.95
	10	96.36	223.5/46.5	257.8/60.5	156/700.6	103.24	418.149	96.44	224/53	6.88
	11	96.46	223.5/46.5	257.9/60.4	156.8/708.5	103.27	420.6/147.6	96.53	222.5/41.9	6.81
	12	96.55	223.6/46.5	258/60.4	157.5/715.8	103.31	422.8/146.3	96.61	221.3/31.8	6.76
	13	95.39	222.6/46.6	256.60.5	147.8/623.1	103.13	384.5/156.5	95.56	246.3/159	7.74
Variasi jarak subkonduktor dengan 2 buah subkonduktor	14	95.49	222.7/46.6	256.9/60.5	148.6/630.4	103.14	388.3/156	95.65	243.6/149.1	7.65
	15	95.56	222.8/46.6	257/60.5	149.2/635.9	103.13	391/155.6	95.71	241.7/141.6	7.57
	16	95.61	222.8/46.5	257/60.5	149.7/640.4	103.13	393.2/155.3	95.76	240.2/135.5	7.52
	17	95.66	222.8/46.5	257.1/60.5	150.1/644.2	103.14	395/154.9	95.8	239/130.3	7.48
	18	95.62	222.8/46.5	257/60.5	149.7/640.8	103.1	394/156.2	95.77	239.5/135	7.48
Variasi jarak subkonduktor dengan 3 buah subkonduktor	19	95.76	222.9/46.5	257.2/60.5	151/652.5	103.12	399.3/155.1	95.9	235.8/119.1	7.36
	20	95.88	223/46.5	257.3/60.5	151.9/661.5	103.13	403.2/154.1	96	233.2/106.6	7.25
	21	95.97	223.1/46.5	257.4/60.5	152.7/669.1	103.15	406.3/153.1	96.09	231.3/96.3	7.18
	22	96.05	223.2/46.5	257.5/60.5	153.4/675.6	103.17	408.8/151.2	96.16	229.6/87.3	7.12
Variasi jarak subkonduktor dengan 6 buah subkonduktor	23	96.03	223.2/46.5	257.5/60.5	153.3/674.2	103.13	408.9/153.6	96.14	229.3/89.2	7.1
	24	96.28	223.4/46.5	257.7/60.4	155.3/694.1	103.19	416.2/150.7	96.37	224.9/61.8	6.91
	25	96.48	223.6/46.5	257.9/60.4	157/710.3	103.26	421.5/147.9	96.55	221.8/39.4	6.78
	26	96.65	223.7/46.5	258.1/60.4	158.4/724.3	103.33	425.7/145.3	96.7	219.6/20	6.68
	27	96.81	223.8/46.5	258.2/60.4	159.6/736.9	103.39	429.3/142.8	96.84	217.8/2.6	6.58
	28	96.12	223.2/46.5	257.5/60.4	153.9/681	103.17	411.2/152.1	96.22	228.1/80	7.05
Ubah Jarak Antar Fasa	29	96.11	223.2/46.5	257.5/60.4	153.9/680.1	103.16	410.8/152.2	96.21	228.3/81.2	7.05
	30	96.12	223.2/46.5	257.5/60.4	154/681.3	103.17	411.3/152	96.22	228/79.5	7.05
	31	96.12	223.2/46.5	257.5/60.4	153.9/680.9	103.17	411.1/152.1	96.22	228.1/80	7.05
	32	96.13	223.3/46.5	257.5/60.4	154.1/682	103.17	411.5/151.9	96.23	227.8/78.5	7.04
	33	96.16	223.3/46.5	257.6/60.4	154.3/684.2	103.18	412.4/151.6	96.26	227.3/75.5	7.02
	34	96.14	223.3/46.5	257.6/60.4	154.1/682.4	103.17	411.7/151.9	96.24	227.7/77.9	7.03
	35	96.18	223.3/46.5	257.6/60.4	154.5/686.2	103.18	413.1/151.3	96.28	226.9/72.8	7
	36	96.19	223.3/46.5	257.6/60.4	154.5/686.7	103.18	413.2/151.2	96.28	226.8/72.1	6.99
	37	96.22	223.3/46.5	257.6/60.4	154.8/689.4	103.19	414.2/150.8	96.31	226.2/68.4	6.97